

P1-2006-93

А. И. Малахов¹, А. Н. Сисакян², А. С. Сорин², С. Вокал^{1,3}

РЕЛЯТИВИСТСКАЯ ЯДЕРНАЯ ФИЗИКА
В ОБЪЕДИНЕННОМ ИНСТИТУТЕ
ЯДЕРНЫХ ИССЛЕДОВАНИЙ

Направлено в журнал «Физика элементарных частиц и атомного ядра»

¹Лаборатория высоких энергий им. В. И. Векслера и А. М. Балдина

²Лаборатория теоретической физики им. Н. Н. Боголюбова

³Университет им. П. Й. Шафарика, Кошице, Словакия

E-mail: malakhov@lhe.jinr.ru, sisakian@jinr.ru, sorin@theor.jinr.ru,
vokal@sunhe.jinr.ru

Малахов А. И., Сисакян А. Н., Сорин А. С., Вокал С.
Релятивистская ядерная физика
в Объединенном институте ядерных исследований

P1-2006-93

Кратко описаны основные этапы развития Лаборатории высоких энергий им. В. И. Векслера и А. М. Балдина Объединенного института ядерных исследований в Дубне. Рассмотрены некоторые эксперименты по изучению образования кумулятивных частиц и новое направление исследований процессов взаимодействия адронов и ядер с ядрами, в которых может проявляться кварковая структура ядер, — релятивистская ядерная физика. Представлены основные методические и экспериментальные результаты, полученные на синхрофазотроне и нуклоне лаборатории, обсуждаются также идеи, родившиеся в сотрудничестве с теоретиками Лаборатории теоретической физики им. Н. Н. Боголюбова. Приведен обзор исследований по релятивистской ядерной физике, которые планируется провести на нуклоне.

Препринт Объединенного института ядерных исследований. Дубна, 2006

Перевод авторов

Malakhov A.I., Sissakian A.N., Sorin A.S., Vokal S.
Relativistic Nuclear Physics at the Joint Institute for Nuclear Research

P1-2006-93

Several stages of development of the V. I. Veksler–A. M. Baldin Laboratory of High Energies of the Joint Institute for Nuclear Research are outlined. Consideration is given to some experiments on studying the cumulative particle production and to a new line of research into hadron and nucleus-nucleus interactions in which a quark structure of nuclei can manifest itself — relativistic nuclear physics. Basic methodical and experimental results obtained at the Laboratory's synchrophasotron and nuclotron are presented as well as the ideas suggested in collaboration with theorists of the N. N. Bogoliubov Laboratory of Theoretical Physics. A review is given of the research into relativistic nuclear physics to be carried out at the nuclotron.

Preprint of the Joint Institute for Nuclear Research. Dubna, 2006

ВВЕДЕНИЕ

Лаборатория высоких энергий (ЛВЭ) Объединенного института ядерных исследований (ОИЯИ) своим рождением обязана Физическому институту им. П. Н. Лебедева АН СССР (ФИАН), где в 1944 г. В.И.Векслер (впоследствии первый директор ЛВЭ) открыл принцип автофазировки, лежащий в основе работы циклических ускорителей высоких энергий. Под его руководством в 1949–1950 гг. в ФИАН было разработано физическое обоснование нового ускорителя — синхрофазотрона, а в 1953 г. была образована Электрофизическая лаборатория АН СССР (ЭФЛАН) для проведения исследований в области физики высоких энергий на уже строившемся синхрофазотроне.

ЭФЛАН вошла в состав ОИЯИ 26 марта 1956 г. и стала называться Лабораторией высоких энергий. Синхрофазotron на энергию протонов 10 ГэВ был запущен в апреле 1957 г., в то время это был самый крупный ускоритель в мире.

Программа исследований на синхрофазотроне была подготовлена и осуществлялась под руководством В. И. Векслера, М. А. Маркова и И. В. Чувило, который впоследствии стал вторым директором ЛВЭ. Эксперименты были нацелены, в первую очередь, на изучение процессов упругого рассеяния при предельно малых и предельно больших передачах импульса и множественного образования частиц в адрон-нуклонных взаимодействиях. В этот период был выполнен также ряд экспериментов, которые привели к открытию антисигмаминус-гиперона, распада фи-ноль-мезона на электрон-позитронную пару и ряда других явлений.

Позднее А. М. Балдин, следующий директор ЛВЭ, предложил новое направление исследований процессов взаимодействия, в которых может проявляться кварковая структура ядер, — релятивистская ядерная физика (РЯФ). Начало этим исследованиям было положено в ЛВЭ экспериментами по изучению образования кумулятивных частиц в реакциях с участием ядер.

Целенаправленное развитие синхрофазотрона позволило использовать для физических исследований в 1971 г. ускоренные дейtronы. С вводом в эксплуатацию в 1993 г. сверхпроводящего ускорителя релятивистских ядер — нуклотрона открылись новые возможности для исследования в области релятивистской ядерной физики.

Одним из основных направлений развития современной физики высоких энергий является изучение сильновзаимодействующей материи в экстремальных условиях.

мальных условиях (при высоких температурах и/или плотностях барионного заряда). Такие условия могли возникать на ранних стадиях эволюции Вселенной, в нейтронных звездах, и, возможно, могут быть достигнуты в лабораторных условиях в столкновениях релятивистских тяжелых ядер. Этим объясняется постоянное стремление ведущих мировых центров по физике высоких энергий к созданию новых ускорителей тяжелых ядер и к увеличению энергий уже существующих ускорителей.

Согласно имеющимся теоретическим представлениям, сильновзаимодействующая материя может претерпевать серию фазовых переходов как с одновременным, так и с раздельным увеличением температуры и плотности барионного заряда, одним из которых является фазовый переход первого рода восстановления киральной симметрии, которая сильно нарушена при нормальных условиях. Теоретически предсказывается существование соответствующей этому переходу смешанной фазы — фазы сосуществования материи с нарушенной и ненарушенной киральной симметрией.

Каждый существующий сегодня в мире ускоритель тяжелых ядер позволяет исследовать определенную область фазовой диаграммы сильновзаимодействующей материи, определяемую температурой и барионными плотностями, которые могут быть достигнуты в процессе соударения в зависимости от энергии и атомного номера ускоряемых ядер. Следует отметить, что первым ускорителем, позволившим получать пучки ядер высоких энергий, был синхрофазотрон ОИЯИ, который сегодня уступил место нуклону, принадлежащему к новому поколению ускорителей на сверхпроводящих магнитах. Какова же область на фазовой диаграмме, соответствующая нуклону? Первые модельные оценки, сделанные в Лаборатории теоретической физики им. Н. Н. Боголюбова ОИЯИ, показывают, что температура и плотность барионного заряда материи, образующейся в процессе соударения ядер с атомными номерами ~ 200 при предельно достижимых на нуклоне значениях энергии столкновения ~ 5 ГэВ/нуклон, могут быть достаточными для достижения области смешанной фазы. Это открывает новые перспективы для программы физических исследований на нуклоне, что было осознано совсем недавно (в начале 2005 г.) в Лаборатории теоретической физики и инициировало широкие обсуждения в ОИЯИ и активную поддержку и заинтересованность ЛВЭ.

Наряду с обзором результатов ЛВЭ последних лет целью настоящего обзора является также показать место и значение нуклона ОИЯИ в ряду существующих ускорителей тяжелых ионов и подчеркнуть актуальность дальнейших исследований в этой области в свете недавно возникших представлений.

В коротком обзоре невозможно отразить всю деятельность ЛВЭ за последние годы, поэтому мы остановились только на наиболее ярких, по нашему мнению, результатах, полученных на синхрофазотроне за последний период

его работы и на нуклоне с момента его запуска, вместе с физической программой будущих исследований.

1. НАЧАЛО ИССЛЕДОВАНИЙ ПО РЕЛЯТИВИСТСКОЙ ЯДЕРНОЙ ФИЗИКЕ В ОИЯИ

1.1. Открытие ядерного кумулятивного эффекта. Пучки частиц высоких энергий долгое время получались исключительно на протонных и электронных ускорителях, т. е. при ускорении частиц, обладающих единичным электрическим зарядом. Ускорение частиц, обладающих зарядом больше единицы, в принципе дает возможность получить энергию ускоряемых частиц (при одинаковых параметрах ускорителя) большую, чем энергия протонов, в число раз, равное кратности заряда. Так, например, на синхрофазотроне в Дубне, рассчитанном на получение протонов с энергией 10 ГэВ, можно было получить ядра гелия с энергией 20 ГэВ, а ядра неона (заряд 10 e^-) с энергией 100 ГэВ. Возникает естественный вопрос: не получается ли в результате столкновения с мишенью ядер, например, неона, обладающих энергией 100 ГэВ, пучки вторичных частиц, получаемые на ускорителе в Серпухове, рассчитанном на энергию протонов 70 ГэВ? Увердительный ответ на этот вопрос означал бы, что с помощью ускорения тяжелых ядер, обладающих более высоким зарядом, можно было бы сравнительно дешевым способом получить пучки частиц рекордно высоких энергий.

Обычно на вопрос о возможности передачи большой энергии составным ядром отдельному протону отвечали отрицательно. Выдвигались соображения о «рыхлости» ядра, о малой вероятности концентрации энергии группы нуклонов на одном нуклоне. В работе [1] А. М. Балдиным впервые была рассмотрена эта проблема и на основе анализа экспериментальных данных высказано предположение о существовании ядерного кумулятивного эффекта, т. е. эффекта образования вторичных частиц при взаимодействии релятивистских ядер с участием группы нуклонов. Более детальная проверка сделанного вывода требовала экспериментальной проверки.

Термин «кумуляция» происходит от латинского *cumulatio* — «скопление» или *cumulo* — «накапливаю» и дословно означает увеличение или усиление какого-либо эффекта за счет сложения или накопления нескольких однородных с ним эффектов.

В 1970 г. на синхрофазотроне ЛВЭ ОИЯИ в Дубне были ускорены простейшие ядра — дейтроны, состоящие из двух нуклонов, до энергии 9 ГэВ. Обычно для измерения энергии ядер используют значение энергии, отнесенное к одному нуклону. В этих единицах энергии дейтронного пучка 9 ГэВ соответствует величина 4,5 ГэВ на нуклон или, как чаще пишут, 4,5 A ГэВ (A — атомная масса ядра).

Наличие дейтронного пучка в Дубне позволило выполнить первые эксперименты с релятивистскими ядрами.

Ядерный кумулятивный эффект впервые наблюдался группой авторов под руководством В. С. Ставинского[2]. Первичный пучок ускоренных дейтронов попадал на одну из помещенных в камере ускорителя медных мишеней $T_{1\div 5}$ (рис. 1).

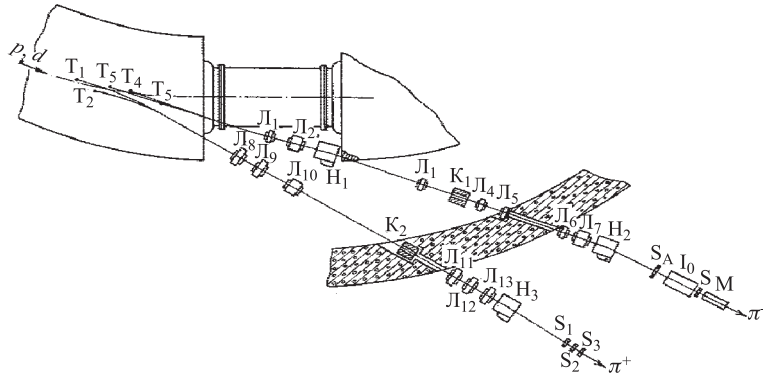


Рис. 1. Схема эксперимента по наблюдению ядерного кумулятивного эффекта

Рожденные в направлении падающих дейтронов пионы анализировались по импульсу магнитным полем ускорителя и попадали в магнитные каналы K_1 и K_2 . Анализирующие магниты H_1 , H_2 , H_3 вместе с магнитным полем ускорителя определяли энергию вторичных пионов. Поскольку геометрия магнитных каналов фиксирована, разные энергии вторичных пионов можно получить, либо меняя мишень в камере ускорителя ($T_{1\div 5}$), либо изменяя магнитное поле ускорителя, т. е. изменения энергию ускоренных дейтронов.

Была измерена величина отношения двойных дифференциальных сечений для рождения пионов дейтронами и протонами на медной мишени:

$$\alpha(x_d) = d^2\sigma(d + \text{Cu} \rightarrow \pi^- + \dots) / d^2\sigma(p + \text{Cu} \rightarrow \pi^- + \dots), \quad (1)$$

где $x_d = p_\pi / p_\pi^{\max}$ (p_π — импульс π -мезона, p_π^{\max} — максимально возможная по кинематике величина импульса π -мезона).

На рис. 2 приведены результаты измерений. Видно, что величина относительного выхода пионов $\alpha(x_d)$ в пределах ошибок измерений не зависит от аргумента x_d . Среднее значение $\langle \alpha \rangle = 0,060 \pm 0,007$.

Чтобы оценить вклад ферми-движения нуклонов в сечение образования пионов, были выполнены соответствующие теоретические расчеты величины

$\alpha(x_d)$. Для численного расчета использовались два варианта волновых функций дейтрона: с отталкивающим кором и без кора. На рис. 2 приведены результаты вычислений. Сплошная кривая соответствует волновой функции без кора, а штриховая — с кором. Из рисунка видно, что расчетная величина α по абсолютной величине примерно на два порядка меньше экспериментальных значений и, кроме того, расчетная кривая зависимости $\alpha(x_d)$ сильно падает с ростом x_d , тогда как экспериментальная величина практически не зависит от аргумента x_d .

Анализ приведенных выше экспериментальных данных по образованию релятивистскими дейтронами пионов с энергией, значительно превышающей энергию, приходящуюся на один нуклон, позволил авторам работы сделать следующие выводы:

1. Отношение выходов реакции $d + Cu \rightarrow \pi^- + \dots$ и $p + Cu \rightarrow \pi^- + \dots$ при таких энергиях мезонов не может быть объяснено ферми-движением нуклонов в дейтроне.

2. Обнаружен ядерный кумулятивный эффект и измерено сечение кумулятивного образования пионов в дейтрон-ядерных взаимодействиях при высоких энергиях.

После первого экспериментального наблюдения ядерного кумулятивного эффекта началось его систематическое изучение. К настоящему моменту накоплен большой экспериментальный материал, и далее мы рассмотрим только некоторые основные результаты, полученные при исследовании кумулятивного эффекта.

1.2. Экспериментальное исследование кумулятивного эффекта. Кумулятивный эффект может быть проявлением кварк-глюонных степеней свободы и мультикварковых конфигураций в ядрах. Существование кумулятивного ядерного эффекта указывает на то, что нуклоны в ядрах при определенных условиях ведут себя иначе, чем в свободном состоянии. В 1980 г. А. М. Балдин [3] ввел новое понятие кварк-парトンной структурной функции ядра по аналогии с кварк-партонной структурной функцией адрона. Эксперименты по адрон-ядерным hA - и ядро-ядерным $A_1 A_{II}$ -взаимодействиям показали, что кварк-партонная структурная функция ядра $G(X)$ не сводится к совокупности структурных функций свободных нуклонов и является новым объектом, характеризующим кварк-глюонное состояние ядра [4].

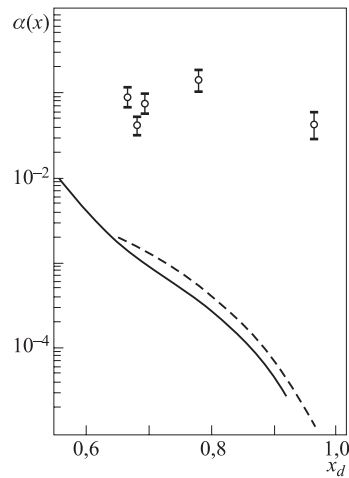


Рис. 2. Сравнение экспериментальных значений $\alpha(x_d)$ с расчетом. Точки — экспериментальные данные. Штриховая линия соответствует волновой функции дейтрона с кором (импульс дейтрона 10 ГэВ/c), сплошная кривая — без кора

Было сделано предположение, что сечение фрагментации ядра мишени A под действием релятивистского адрона h с образованием инклузивного адрона 1 в процессе

$$h + A \rightarrow 1 + \dots \quad (2)$$

пропорционально импульсному распределению夸ков в ядрах:

$$\sigma(h + A \rightarrow 1 + \dots) \sim G(X). \quad (3)$$

Переменная X , называемая кумулятивным числом [5], имеет смысл числа нуклонов, участвующих во взаимодействии и, в принципе, может лежать в интервале $0 \leq X \leq A$.

Исходя из законов сохранения энергии и трехмерного импульса для процесса (2), можно написать следующие соотношения:

$$E_h + E_A = E_1 + E_{\text{ост}}, \quad (4)$$

$$\mathbf{p}_h = \mathbf{p}_1 + \mathbf{p}_{\text{ост}}, \quad (5)$$

где $E_h, E_A, E_{\text{ост}}$ — энергии, а $\mathbf{p}_h, \mathbf{p}_1, \mathbf{p}_{\text{ост}}$ — трехмерные импульсы налетающего адрона h , ядра мишени A и группы остальных частиц соответственно. Для простоты мы пока полагаем, что в процессе (2) рождается частица 1, не обладающая квантовым числом, которое не содержит исходные объекты реакции. В противном случае надо вводить в рассмотрение дополнительную частицу 2 с противоположным по знаку квантовым числом. Это будет сделано ниже при более полном рассмотрении взаимодействия двух ядер.

Имея в виду, что при высоких энергиях $E_h \approx p_h$, можно записать выражение (4) в следующем виде:

$$p_h + X m_0 = (p_1^2 + m_1^2)^{1/2} + (p_{\text{ост}}^2 + X m_0^2)^{1/2}. \quad (6)$$

Из выражения (5) можно получить

$$p_{\text{ост}}^2 = p_h^2 + p_1^2 - 2 p_h p_1 \cos \theta_{h1}, \quad (7)$$

где θ_{h1} — угол вылета частицы 1 по отношению к направлению падающего адрона h .

Подставив это выражение для $p_{\text{ост}}^2$ в (6) и произведя необходимые преобразования, получим выражение для кумулятивного числа в реакции (2):

$$X = (E_1 - p_1 \cos \theta_{h1} - m_1^2/2p_h)/[m_0(1 - E_1/p_h)]. \quad (8)$$

В более общем случае, когда сталкиваются два релятивистских ядра, кумулятивность может проявляться в обоих ядрах. Запишем процесс взаимодействия двух ядер в следующем виде:

$$\text{I} + \text{II} \rightarrow 1 + 2 + \dots \quad (9)$$

I и II — сталкивающиеся ядра, 1, 2, ... — вторичные частицы, образующиеся в результате столкновения ядер. Будем, как и прежде, интересоваться рождением частицы 1.

Для этого процесса (рис. 3) можно записать закон сохранения четырехмерного импульса, выделяя кумулятивную частицу 1 и пренебрегая относительным движением остальных частиц (гипотеза минимальной массы):

$$\begin{aligned} (X_I P_I + X_{II} P_{II} - P_1)^2 &= \\ &= (X_I m_0 + X_{II} m_0 + m_2)^2, \quad (10) \end{aligned}$$

где P_I и P_{II} — четырехмерные импульсы взаимодействующих ядер на нуклон, P_1 — четырехмерный импульс рожденной частицы, m_0 — масса нуклона, m_2 — масса дополнительной частицы, обеспечивающей сохранение квантовых чисел (барионного числа, странности и др.). Для античастиц и антиядер $m_2 = m_1$, для частиц, которые рождаются без сопровождающих их античастиц (π -мезоны, струи и т. п.), $m_2 = 0$.

Полагая в (10) $X_{II} = 1$, получаем

$$X_I = [(P_{II} P_1) + m_0 m_2 + (m_2^2 - m_1^2)/2]/[(P_1 P_{II}) - m_0^2 - (P_1 P_1) - m_0 m_2]. \quad (11)$$

Для случая $m_2 = 0$ из (11) легко получить выражение (8).

Группа В. С. Ставинского выполнила подробные исследования инклузивного рождения мезонов в заднюю полусферу при столкновении протонов с импульсом 8,9 ГэВ/с различными ядрами от гелия до урана на синхрофазotronе в Дубне [6]. Результаты измерений показали, что сечения взаимодействия ядер можно представить следующим образом:

$$\sigma(A_I + A_{II} \rightarrow 1 + \dots) = \text{const } A_I^n G(X). \quad (12)$$

В этих измерениях были установлены важные свойства функции $G(X)$, называемой ядерной структурной функцией. Величина переменной X изменяется в пределах $0 \leq X \leq A$ (кумулятивный эффект соответствует области $X > 1$).

Рассмотрим некоторые свойства структурной функции $G(X)$.

В области $0,6 \leq X \leq 3,5$ функция $G(X)$ имеет универсальные свойства для различных ядер и может быть аппроксимирована формулой (рис. 4):

$$G(X) = A^{m(X)} \exp(-X/\langle X \rangle). \quad (13)$$

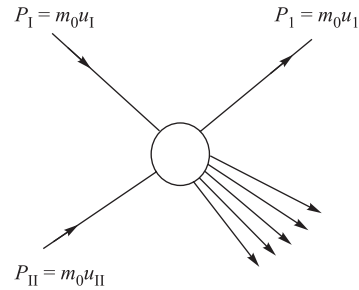


Рис. 3. Схема взаимодействия ядра I с ядром II. P_I и P_{II} — четырехмерные импульсы ядра I и ядра II на нуклон, m_0 — масса нуклона, P_1 — четырехмерный импульс кумулятивной частицы с массой m_1

Параметр $\langle X \rangle$ не зависит в пределах ошибок измерения от квантовых чисел кумулятивных частиц и равен 0,14 с точностью 10 %. По своему физическому смыслу $\langle X \rangle^{-1}$ характеризует размеры мультиварковой системы, из которой вылетают кумулятивные частицы.

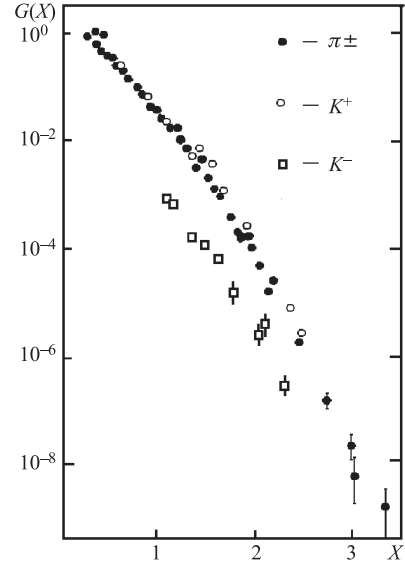


Рис. 4. Зависимость $G(X)$ для процесса рождения π^+ - $, \pi^-$ - $, K^+$ - $, K^-$ -мезонов в заднюю полусферу под действием протонов с импульсом 8,9 ГэВ/с на свинцовой мишени от кумулятивного числа X

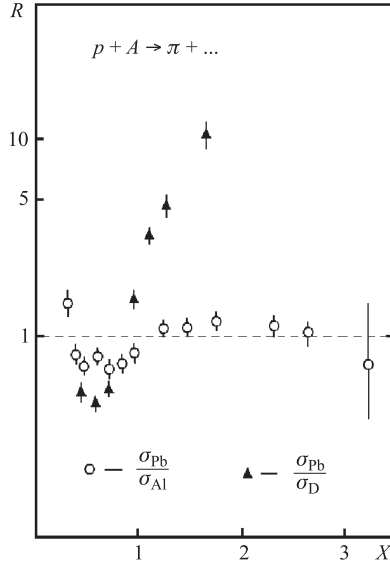


Рис. 5. Зависимость отношения сечений рождения пионов на ядрах свинца (Pb), дейтерия (D) и алюминия (Al) от кумулятивного числа X

Показатель экспоненты

$$m(X) = 2/3 + X/3 \quad \text{при } 0,6 \leq X \leq 1, \quad (14)$$

$$m(X) = 1 \quad \text{при } X > 1. \quad (15)$$

Таким образом, зависимость сечений от атомного номера ядра A_{II} меняется с ростом X от обычной ($\sim A_{II}^{2/3}$) до A_{II}^1 . Зависимость типа $\sigma \sim A_{II}^1$ ожидалась на основе гипотезы о локальном и равномерном по всему объему ядра взаимодействии для кумулятивной области $X > 1$. В области $0,6 \leq X \leq 1$

из (13) и (14) можно получить отношение структурных функций (сечений), нормированных на A_i :

$$R = \frac{\sigma(A_1 A_{\text{II}} \rightarrow 1 + \dots)/A_{\text{II}}}{\sigma(A_1 A_{\text{III}} \rightarrow 1 + \dots)/A_{\text{III}}} \sim \left(\frac{A_{\text{II}}}{A_{\text{III}}} \right)^{(x-1)/3}. \quad (16)$$

Из (16) видно, что доля кварков с $X = 0,6 \div 1,0$ на нуклон в тяжелом ядре ($A_{\text{II}} > A_{\text{III}}$) меньше, чем в легком.

Этот эффект впервые наблюдался в опытах В. С. Ставинского [7]. Была изучена X -зависимость сечения рождения пионов (на нуклон) на ядрах свинца, дейтерия и алюминия (рис. 5). Найдено, что $d\sigma(\text{Pb})/d\sigma(A) < 1$ при $X < 1$ в соответствии с обсужденной выше зависимостью показателя m от X . В области $X > 1$ отношение структурной функции ядер свинца к структурной функции дейтрона много больше единицы. Это происходит благодаря тому факту, что в дейтроне нет кварковых конфигураций более чем двух нуклонов. Отношение сечений на нуклон для ядер свинца и алюминия приблизительно равно единице для $X > 1$. Этот эффект был также подтвержден и в глубоконеупругих μA -взаимодействиях при $E_{\mu} \leq 280$ ГэВ с использованием дейтериевой и железной мишени в CERN Европейской мюонной коллаборацией EMC [8].

На рис. 6 приведены экспериментальные данные по отношению структурных функций для разных частиц. Данные при $X > 1$ получены из кумулятивного рождения [6], данные при $X < 1$ — [9].

Видны следующие закономерности для кумулятивных процессов.

1. Все отношения структурных функций при $X > 1$ стремятся к постоянной величине, откуда следует, что в этой области все структурные функции имеют одинаковую зависимость от X .

2. Отношение структурных функций для процессов с участием K^+ - и π^+ -мезонов (K^+/π^+) при $X > 1$ близко к единице, что можно было ожидать, так как в K^+ - и π^+ -мезонах имеются одинаковые валентные кварки (u -кварки), которые входят также в состав нуклонов сталкивающихся ядер.

3. Отношение структурных функций для процессов с участием K^+ - и K^- -мезонов (K^+/K^-) равно примерно 30, что можно понять как следствие

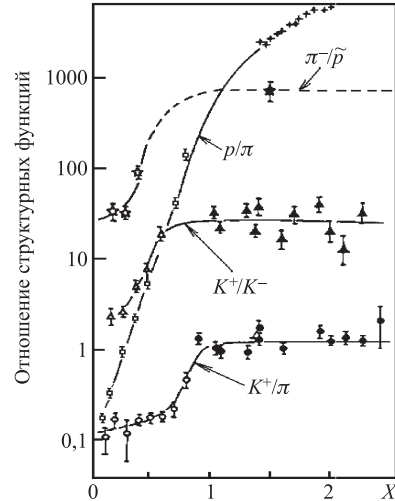


Рис. 6. Отношение кварк-партонных структурных функций с образованием различных вторичных частиц для средних и тяжелых ядер в зависимости от кумулятивного числа X

отсутствия в составе K^- -мезона валентных夸克ов, входящих в исходные ядра. Этот эффект иногда называют подавлением морских夸克ов.

Экспериментальные данные по сечениям рождения пионов для различных углов испускания [10, 11] позволили изучить зависимость сечения кумулятивного рождения от квадрата поперечного импульса $p_T^2(\theta)$. Найденная зависимость оказалась довольно слабой, что указывает на факторизацию сечений по переменным X и p_T :

$$\sigma(A_I + A_{II} \rightarrow 1 + \dots) = \text{const } A_I^n C(X) \phi(p_T^2), \quad (17)$$

где

$$\phi(p_T^2) = 0,9 \exp(-2,7p_T^2) + 0,1. \quad (18)$$

1.3. Рассмотрение множественных процессов в пространстве четырехмерных скоростей. Современное описание множественного рождения частиц основано на инклузивном подходе, развитом А.А.Логуновым с сотрудниками [84].

А. М. Балдин предложил изучать столкновения релятивистских ядер в пространстве четырехмерных скоростей [12]. В этом подходе он ввел инвариантные, безразмерные и измеримые переменные b_{ik} , являющиеся квадратом разности четырехмерных скоростей между любыми частицами, участвующими во взаимодействии:

$$b_{ik} = -(u_i - u_k)^2, \quad (19)$$

где u_i и u_k — четырехмерные скорости частиц.

С помощью этой переменной оказалось возможным дать удобную и наглядную классификацию ядерных взаимодействий [13]:

1) Область $b_{ik} \approx 10^{-2}$ соответствует взаимодействию ядер как систем из слабосвязанных нуклонов. Это область классической ядерной физики.

2) Область $0,1 < b_{ik} < 1$ является промежуточной. В этой области кварковые степени свободы начинают играть существенную роль в перестройке адронных систем.

3) В области $b_{ik} \gg 1$ нуклоны утрачивают значение квазичастиц ядерной материи и ядра следует рассматривать как кварк-глюонные системы.

Физический смысл критерия 3 состоит в следующем: при достаточно больших относительных четырехмерных скоростях взаимодействие между кварками, входящими в объект i , и кварками, входящими в объект k , существенно ослабевает. В связи с этим появляется возможность использовать в этой области теорию возмущений.

Было показано, что асимптотический режим (деконфайнмент) начинает проявляться уже при $b_{ik} > 5$, что соответствует энергии налетающего ядерного пучка на неподвижную мишень 3,5 A ГэВ. Это означает, что проявления кварк-глюонной структуры ядер можно было изучать при энергии синхрофазотрона в Дубне, который обладал энергией ядер 4,5 A ГэВ.

Основной смысл перехода к пространству четырехмерных скоростей состоит в том, что в переменных b_{ik} можно сформулировать достаточно общие асимптотические закономерности, которые управляют множественными процессами.

В пространстве четырехмерных скоростей А. М. Балдиным был введен принцип ослабления корреляций. Принцип ослабления корреляций (ПОК) впервые был предложен Н. Н. Боголюбовым [85] в статистической физике как универсальное свойство распределений вероятности положения частиц в обычном пространстве-времени (\mathbf{r}, t) . Принцип основан на интуитивном представлении о том, что корреляция между пространственно отдаленными частями макроскопической системы практически исчезает и выражение, характеризующее систему частиц, распадается на множители. ПОК, предложенный А. М. Балдиным, формулируется в пространстве относительных четырехмерных скоростей. В силу дополнительности r_{ik} и b_{ik} ПОК А. М. Балдина прямо противоположен ПОК Н. Н. Боголюбова. Последний выполняется при $|\mathbf{r}_i - \mathbf{r}_k|^2 \rightarrow \infty$, а ПОК А. М. Балдина — при $|\mathbf{r}_i - \mathbf{r}_k|^2 \rightarrow 0$, что соответствует асимптотической свободе кварков на малых расстояниях.

Таким образом, если есть группа частиц α и группа частиц β в пространстве четырехмерных скоростей, то при удалении этих групп друг от друга, т. е. при $b_{\alpha\beta} \rightarrow \infty$, распределение W , характеризующее систему, имеет вид

$$W(b_{\alpha\beta} \rightarrow \infty) = W_\alpha W_\beta, \quad (20)$$

где W_α и W_β — распределения, характеризующие системы α и β .

Предельная фрагментация ядер представляет собой частный случай принципа при $\alpha = \text{I}$ и $\beta = \text{II}$. Сечение образования мезонов

$$d^2\sigma/db_{\text{II}1}dX_1 \rightarrow F^{\text{I}} F^{\text{II}}(b_{\text{II}1}, X_1). \quad (21)$$

Из (21) видно, что в распределении выделяется множитель, не зависящий от начального состояния. Отсюда, в частности, следует, что для изучения инвариантных функций $F^{\text{II}}(b_{\text{II}1}, X_1)$ нет необходимости ускорять ядра.

Как показала большая серия экспериментов, предельная фрагментация ядер реализуется уже при $b_{ik} > 5$. Универсальная величина $F^{\text{II}}(b_{\text{II}1}, X_1)$ в (21) в соответствии с ПОК практически не зависит от свойств ядра или частицы I.

ПОК позволяет ввести понятие изолированной системы. Пусть V_α — средняя точка системы (группы) частиц, u_i — четырехмерная скорость i -й частицы, входящей в систему, а u_k — четырехмерная скорость k -й частицы, не относящейся к системе.

Назовем систему изолированной, если $b_{\alpha i}$ для всех частиц, входящих в систему, много меньше $b_{\alpha k}$ для всех не относящихся к системе частиц:

$$b_{\alpha k} \gg b_{\alpha i} < 1. \quad (22)$$

Согласно ПОК, взаимодействие и корреляции частиц, входящих в систему, с частицами, не входящими в систему, пренебрежимо малы. Введенные выше функции F^α и F^β и, в частности, F^I и F^{II} описывают изолированные системы. Важным примером изолированных систем являются струи.

В описываемом подходе струя рассматривается как группа (кластер) адронов с малыми относительными четырехмерными скоростями b_{ik} .

Осью струи мы предлагаем назвать единичный четырехмерный вектор $V(V_0, \mathbf{V})$:

$$V = \frac{\sum_i u_i}{\sqrt{\left(\sum_i u_i\right)^2}}. \quad (23)$$

По определению

$$V_0^2 - \mathbf{V}^2 = 1. \quad (24)$$

Суммирование в (23) ведется по всем частицам, относящимся к выделенной группе частиц (кластеру).

Определим четырехмерную скорость частицы относительно оси струи:

$$b_k = -(V - u_k)^2. \quad (25)$$

Определение оси струи (24) получается из требования минимального значения суммы $\min_k b_k$ для частиц струи и условия (25). Распределение самих струй по отношению к оси реакции можно исследовать по переменным:

$$\begin{aligned} b_{SII} &= (V - u_{II})^2, \\ b_{SI} &= (V - u_I)^2. \end{aligned} \quad (26)$$

Таким образом, в этом определении адронных струй не используются выделенные системы координат, продольные быстрые, поперечные импульсы и т. п. Струи определены полностью релятивистски-инвариантным способом без привлечения таких понятий, как «сферисити» или «траст».

В отличие от обычного трехмерного описания струй в данном описании струи являются четырехмерными объектами, аналогичными адронам. Существенное отличие адронов от струй состоит в том, что для струй средние величины относительных четырехмерных скоростей частиц в струе составляют $\langle b_k \rangle \approx 1$, а для адронов и ядер, рассматриваемых как кварк-глюонные кластеры, справедливо соотношение $\langle b_k \rangle \ll 1$.

Струя четко выделяется только в том случае, если ее скорость по отношению к сталкивающимся частицам b_{SI} и b_{SII} удовлетворяет условию:

$$\begin{aligned} b_{SI} &> \langle b_k \rangle, \\ b_{SII} &> \langle b_k \rangle. \end{aligned} \quad (27)$$

При $b_{ik} \rightarrow \infty$ наступают асимптотические режимы, характеризующиеся убыванием распределений вероятности (сечений) $\sigma(b_{\text{III}}, b_{\text{I}i}, b_{\text{II}i}, b_{ik}, \dots)$ с ростом b_{ik} и разделением (факторизацией) σ на множители, относящиеся к различным группам (кластерам) вторичных частиц (ПОК). Существование асимптотических режимов и справедливость ПОК для сечений σ является следствием существования характерной корреляционной длины в пространстве относительных четырехмерных скоростей $b_2^k \approx 1 \div 2$, которая соответствует масштабу кварковых явлений. В то же время в пространстве четырехмерных скоростей, как отмечалось ранее, должна существовать корреляционная длина $b_1^k \sim 0,01$, характеризующая масштаб нуклонных (ядерных) явлений. Таким образом, при $b_{ik} \gg b_1^k$ функция σ должна обладать асимптотическими свойствами. Асимптотический режим в поведении функции σ по аналогии с механикой сплошных сред можно рассматривать как проявление автомодельности распределений σ . Автомодельность решений механики сплошных сред означает уменьшение числа аргументов исследуемой функции за счет существенности только некоторых комбинаций независимых переменных. Эти комбинации называются параметрами подобия. Фиксируя параметры подобия, нетрудно убедиться, что при изменении других аргументов решение остается неизменным, подобным самому себе (автомодельным). Уменьшение числа аргументов обычно связано с существованием у задачи группы симметрии. В этом случае параметрами подобия являются инварианты группы. Частным, но наиболее успешно применяемым методом нахождения автомодельных решений служит размерный анализ, основой которого является требование, чтобы решение зависело только от безразмерных комбинаций, инвариантных по отношению к выбору единиц измерения величин, обладающих независимой размерностью.

В пространстве четырехмерных относительных скоростей с самого начала имеют дело с безразмерными релятивистски-инвариантными величинами b_{ik} , и при формулировке принципа автомодельности исходят не из соображений размерности, а из условия существования асимптотического предела сечений при стремлении некоторых $b_{ik} \rightarrow \infty$. Бесконечность следует понимать как «физическую бесконечность», т. е. как величину, позволяющую провести разложение функции по степеням $1/b_{ik}$. Тем самым коэффициенты разложения оказываются автомодельными по этой переменной. Такие свойства решений иногда называют автомодельностью второго рода, а соответствующие зависимости называются промежуточными асимптотиками. Иными словами, сечение процесса в пространстве относительных четырехмерных скоростей b_{ik} можно представить в виде функции следующих переменных:

$$\sigma(b_{\alpha\beta}, b_{\alpha i}, b_{\beta i}, \dots, b_{ik}, \dots) \xrightarrow[b_{\alpha\beta} \rightarrow \infty]{} \frac{1}{(b_{\alpha\beta})^m} \sigma_m \left(b_{\alpha i}, \frac{b_{\beta i}}{b_{\alpha\beta}}, \dots \right). \quad (28)$$

Параметр m находится из эксперимента или предсказывается теорией. Таким

образом, масштабная инвариантность является частным случаем автомодельности второго рода. Формулировка принципа автомодельности и принципа ослабления корреляций позволяет предложить общую параметризацию сечений множественных процессов в пространстве относительных четырехмерных скоростей:

$$\sigma(b_{\alpha\beta}, b_{\alpha i}, b_{\beta i}, b_{\alpha k}, b_{\beta k}, \dots) \xrightarrow{b_{\alpha\beta} \rightarrow \infty} \frac{1}{(b_{\alpha\beta})^m} \sigma_\alpha \left(b_{\alpha i}, \frac{b_{\beta i}}{b_{\alpha\beta}}, \dots \right) \sigma_\beta \left(b_{\beta i}, \frac{b_{\alpha k i}}{b_{\alpha\beta}}, \dots \right). \quad (29)$$

На рис. 7 показаны распределения π^- -мезонов по величине b_k , определяемой выражением (25), нормированные по площади на единицу, для $\pi^- p$ -, $\pi^- C$ - и $p p$ -взаимодействий в областях фрагментации пучка и мишени. Рисунок указывает на универсальный характер распределений π^- -мезонов в струях по b_k , форма которых в широких пределах не зависит от энергии и типа взаимодействия.

Таким образом, анализ распределений π^- -мезонов по величине b_k в струях показывает замечательную универсальность этих распределений, не зависящую ни от энергии взаимодействия в области от 22,4 до 205 ГэВ, ни от типа фрагментирующей системы (p , π , \tilde{p} , C , \dots). Среднее значение $\langle b_k \rangle \approx 4$ характеризует квадрат средней четырехмерной скорости π^- -мезонов относительно оси струи при фрагментации различных кварковых объектов.

Важный результат совместного анализа свойств адронных струй в адрон-адронных и адрон-ядерных столкновениях представлен на рис. 8, где можно видеть среднее значение квадрата четырехмерной скорости отрицательных пионов $\langle b_k \rangle$ относительно оси струй, образующихся в различных процессах в зависимости от энергии в системе центра масс взаимодействия E . С увеличением энергии размеры струй растут и при $E \geq 10$ ГэВ практически не зависят от энергии. Полученные результаты озна-

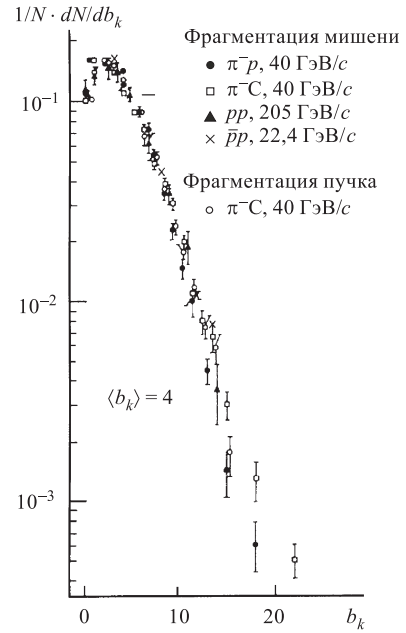


Рис. 7. Распределения π^- -мезонов по величине b_k в струях, образующихся в области фрагментации пучка и мишени, для различных типов взаимодействий

чают, что адронизация цветных партонов практически не зависит от динамики их образования и определяется их взаимодействием с КХД-вакуумом.

Использование А. М. Балдиным принципов симметрии позволило ему ввести параметр подобия Π для ядерных взаимодействий [14, 15]:

$$\Pi = \min \{1/2[(u_I N_I + u_{II} N_{II})^2]^{1/2}\}, \quad (30)$$

где N_I и N_{II} — кумулятивные числа для ядер I и II, а u_I и u_{II} — четырехмерные скорости этих ядер. Оказалось, что инвариантные сечения выхода инклузивных частиц различного типа при взаимодействии ядер с атомными номерами A_I и A_{II} описываются универсальной закономерностью в широком диапазоне энергий и атомных номеров сталкивающихся ядер:

$$E d^3\sigma/dp^3 = C_1 A_I^{\alpha(NI)} A_{II}^{\alpha(NII)} \exp(-\Pi/C_2), \quad (31)$$

где $\alpha(N_I) = 1/3 + N_I/3$, $\alpha(N_{II}) = 1/3 + N_{II}/3$, $C_1 = 1,910^4 \text{ мб}\cdot\text{ГэВ}^{-2}\cdot\text{с}^3\cdot\text{ср}^{-1}$, $C_2 = 0,125 \pm 0,002$.

Используя закон сохранения четырехмерного импульса, А. М. Балдин и А.И.Малахов нашли аналитическое выражение для параметра Π для центральной области быстрот инклузивной частицы [16]. Это позволило им предсказать, например, отношение выходов античастиц и частиц в зависимости от энергии, в том числе и в асимптотической области. Эти предсказания довольно хорошо подтверждаются экспериментальными данными вплоть до последних данных, полученных на недавно запущенном в США коллайдере релятивистских тяжелых ионов RHIC.

Более детально некоторые проблемы релятивистской ядерной физики и множественного рождения частиц в рассматриваемом подходе можно найти в обзоре [17].

1.4. Асимптотические закономерности рождения частиц — z -скейлинг.

Принцип автомодельности в физике элементарных частиц впервые был сформулирован В. А. Матвеевым, Р. М. Мурадяном и А. Н. Тавхелидзе [86]. Продолжая научные традиции по поиску общих закономерностей в рождении частиц в протон-протонных, протон-ядерных и ядро-ядерных взаимодействиях, сотрудники ЛВЭ в 1996 г. предложили и в настоящее время развивают новый подход. Это метод анализа экспериментальных данных по поиску и изучению новых закономерностей рождения частиц с большими поперечными импульсами во взаимодействиях адронов и ядер высоких энергий [18–21].

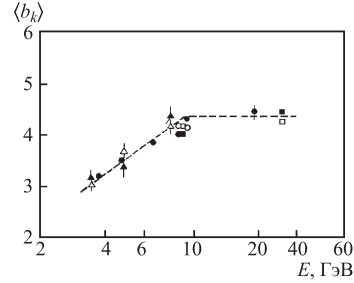


Рис. 8. Зависимость $\langle b_k \rangle$ от энергии E в системе центра масс для pp , $\tilde{p}p$ -, π^-p -, π^-C -взаимодействий. Светлые точки — фрагментация пучка, темные — фрагментация мишени

$\exp(-\Pi/C_2)$, (31)

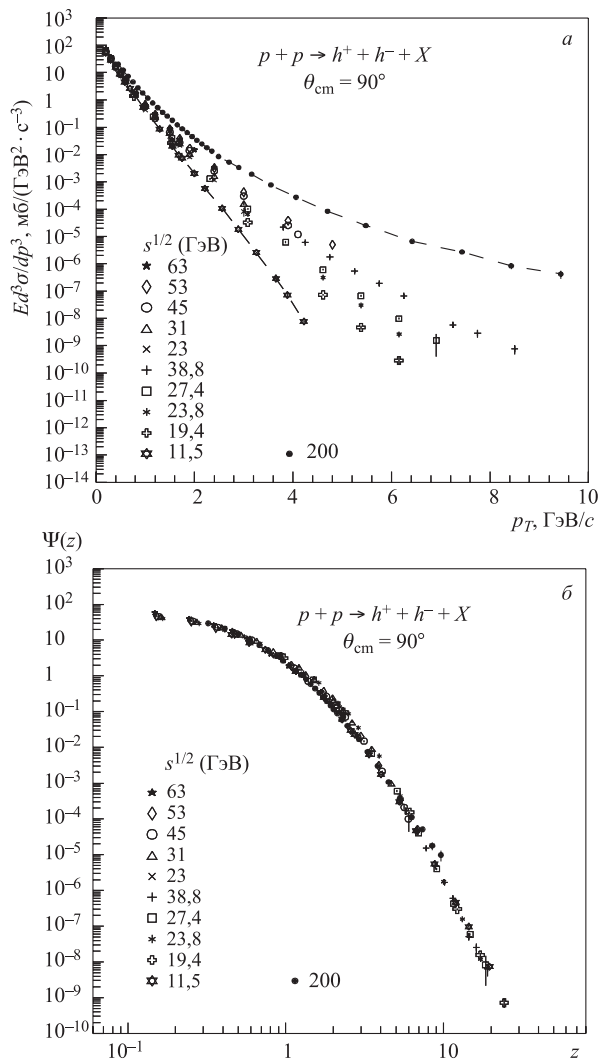


Рис. 9. а) Инклюзивное сечение рождения заряженных адронов в $p\bar{p}$ - и $p\bar{p}$ -взаимодействиях на У-70, ISR, Tevatron и RHIC при энергии в системе центра масс реакции $\sqrt{s} = 11-1800$ ГэВ. б) Соответствующая скейлинговая функция

Результаты анализа многочисленных экспериментальных данных, полученных на ускорителях У-70 (Протвино), ISR и SPS (CERN), Tevatron (Батавия), по рождению адронов, прямых фотонов и струй в широком диапазоне

энергий и переданных импульсов показали, что установлена новая закономерность в рождении частиц, названная z -скейлингом (рис. 9).

Эта закономерность отражает фундаментальные свойства симметрии взаимодействия и образования частиц, такие как самоподобие, локальность и фрактальность. Новое представление экспериментальных данных — z -представление — обнаруживает свойства энергетической и угловой независимости и подтверждает универсальность механизма формирования частиц, описываемого скейлинговой функцией $\Psi(z)$. Эта функция имеет физическую интерпретацию плотности вероятности образования реальной частицы на длине формирования z . Как сама скейлинговая функция, так и параметр z выражаются через экспериментально измеряемые величины, инвариантное сечение $E d^3\sigma/p^3$ и плотность заряженных частиц $dN/d\eta$, что позволяет проводить модельно-независимый анализ экспериментальных данных и предсказательные расчеты выходов частиц.

Новые экспериментальные данные, полученные на коллайдере релятивистских ядер и поляризованных протонов (RHIC) и протон-антипротонном коллайдере Tevatron, подтвердили z -скейлинг в новой области энергий.

Таким образом, получены убедительные аргументы, свидетельствующие о том, что установленная закономерность может быть использована как инструмент в поиске новых физических явлений при рождении частиц в столкновениях адронов и ядер при экстремально высоких энергиях, плотностях частиц и поперечных импульсах на У-70, Tevatron, RHIC и LHC.

2. УСКОРИТЕЛЬНЫЙ КОМПЛЕКС ЛАБОРАТОРИИ ВЫСОКИХ ЭНЕРГИЙ

Ускорительный комплекс ЛВЭ является одной из основных базовых установок ОИЯИ. Оборудование предназначено для генерации протонов, дейтронов, поляризованных дейтронов (а также вторичных поляризованных протонов и нейтронов) и ядер с энергией легких ядер до 6 ГэВ/нуклон (для тяжелых ядер — до 5 ГэВ/нуклон). Схема ускорительного комплекса, включающего старый ускоритель — синхрофазotron и новый сверхпроводящий — нуклотрон, представлена на рис. 10, а внешний вид нуклотрона — на рис. 11.

Исследования, проводившиеся ранее на синхрофазотроне, в настоящее время переведены на новый ускоритель — нуклотрон.

Ускорительный комплекс лаборатории включает:

- сверхпроводящий ускоритель — нуклотрон;
- линейный ускоритель ЛУ-20;
- электронно-лучевой источник высокозарядных ионов;
- лазерный источник легких ионов;
- источник поляризованных дейтронов ПОЛЯРИС;

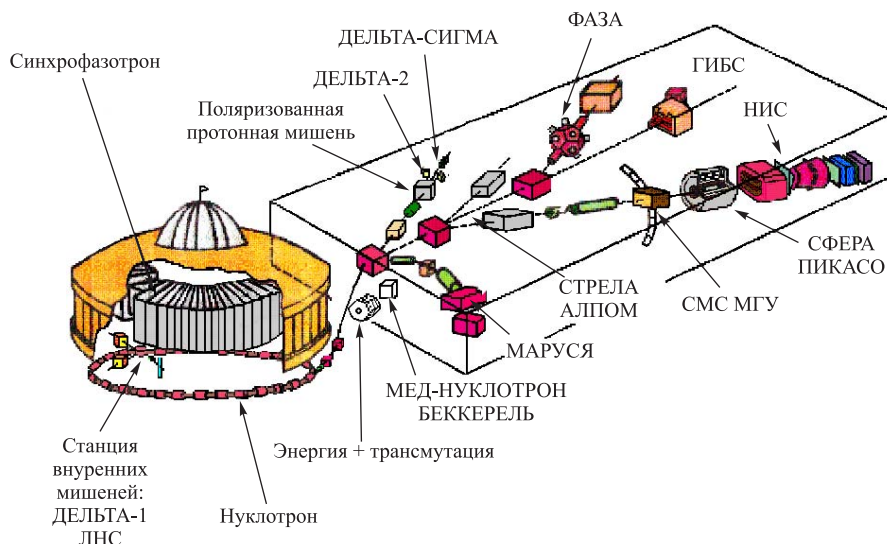


Рис. 10. Схема ускорительного комплекса ЛВЭ

- источник тяжелых ионов КРИОН-2;
- систему медленного вывода пучков;
- систему каналов выведенных пучков;
- комплекс внутренних мишеней;
- криогенное оборудование.

Расположение основных установок для проведения физических экспериментов на внутренних и выведенных пучках нуклотрона показано на рис. 10.

Нуклотрон был введен в строй в 1993 г. Он создан с использованием уникальной технологии сверхпроводящих магнитных систем, которые были предложены и разработаны в Лаборатории высоких энергий [22]. Эксперименты с использованием внутренних пучков нуклотрона начались в 1994 г. Методические и физические работы на выведенных пучках нуклотрона проводятся регулярно с 1999 г., когда был впервые получен выведенный пучок с помощью системы медленного вывода пучка, созданной на основе сверхпроводящих элементов. Некоторые параметры пучков нуклотрона приведены в табл. 1 [23].

Длительность выведенного пучка нуклотрона достигает 10 с, при этом пульсации интенсивности существенно подавлены системой обратной связи (рис. 12).



Рис. 11. Внешний вид нуклotronа ЛВЭ

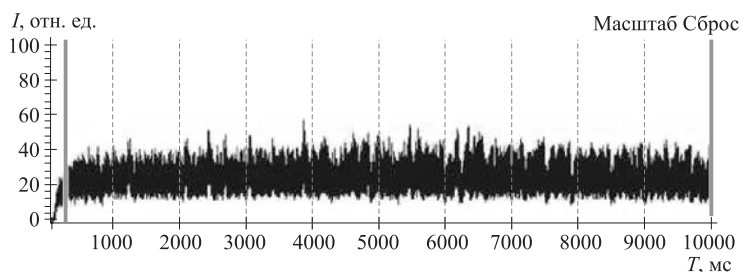


Рис. 12. Интенсивность пучка (в отн. ед.) выведенных из нуклотрона дейтронов как функция времени с управлением от системы обратной связи

В ЛВЭ имеется хорошая перспектива получения ускоренных тяжелых ионов благодаря разработке в группе Е. Д. Донца уникального источника тяжелых ионов на основе открытого им метода электронной струны. Недавний прогресс в получении ионного пучка Ar^{16+} и Fe^{24+} на нуклotronе связан с успехом в создании нового типа ионного источника КРИОН-2 в «струнной» моде работы [24]. Этот тип ионного источника, называемого ESIS (Electron

Таблица 1. Некоторые параметры пучков нуклotrona

Пучок	Интенсивность, част./цикл		Пучок	Интенсивность, част./цикл	
	2003 г.	2006 г.		2003 г.	2006 г.
p	$1 \cdot 10^{11}$	$2 \cdot 10^{11}$	^{16}O	$7 \cdot 10^8$	$1 \cdot 10^9$
d	$5 \cdot 10^{10}$	$1 \cdot 10^{11}$	^{24}Mg	$1 \cdot 10^8$	$3 \cdot 10^8$
^4He	$3 \cdot 10^9$	$2 \cdot 10^{10}$	^{40}Ar	$3 \cdot 10^7$	$2 \cdot 10^8$
^7Li	$1 \cdot 10^9$	$2 \cdot 10^9$	^{56}Fe	$1,2 \cdot 10^6$	$5 \cdot 10^7$
^{10}B	$2,3 \cdot 10^7$	$5 \cdot 10^7$	^{84}Kr	-	$5 \cdot 10^6$
^{12}C	$2 \cdot 10^9$	$1 \cdot 10^{10}$	^{131}Xe	-	$1 \cdot 10^6$
^{14}N	$1 \cdot 10^7$	$5 \cdot 10^7$	$d \uparrow$	$3 \cdot 10^8$	$3 \cdot 10^9$

String Ion Source), использует многократные продольные отражения электронов в дрейфовом пространстве источника. Исследование отражательной моды работы EBIS, основанной на специально созданной электронной пушке и электронном отражателе, привело в результате к открытию и изучению явления электронной струны и позволило реконструировать существующий источник КРИОН-2 и применить его на нуклotronе.

Новый источник дал возможность получить пучки ионов N^{6+} , N^{7+} , Ar^{16+} и Fe^{24+} в сеансах нуклотрона в 2002 и 2003 гг. Планируется дальнейшее продолжение этих работ с целью получения ионов золота и урана на нуклotronе с энергией до 5 A ГэВ.

Более подробная информация об ускорительном комплексе ЛВЭ вместе с планом развития нуклотрона в течение ближайших лет приведена в [22, 23, 25, 26].

2.1. Поляризованные пучки и поляриметр для внутреннего пучка нуклотрона. Одно из приоритетных направлений исследований в ЛВЭ — спиновая физика. В декабре 2002 г. на нуклotronе был впервые ускорен пучок поляризованных дейtronов от источника ПОЛЯРИС с интенсивностью до 10^8 част./цикл. Использование вновь создаваемого источника на нуклotronе позволит получить выведенные пучки поляризованных дейtronов с интенсивностями до $5 \cdot 10^{10}$ част./цикл.

Необходимым элементом в экспериментах с поляризованными пучками является возможность измерения степени поляризации ускоренного пучка. Для этой цели на ускорительном комплексе используются четыре типа поляриметров. Одни из них, низкоэнергетические поляриметры, предназначены для измерений векторной и тензорной поляризаций дейtronного пучка на выходе из линейного ускорителя, другие позволяют определить степень поляризации выведенного из камеры ускорителя пучка частиц.

Новый прибор, использующий внутреннюю мишень нуклotronа (установка PINTA — Polarimeter on Internal TArget), был создан недавно на базе спектрометра СКАН [27]. Для определения поляризации пучка применен хорошо изученный метод измерения асимметрии квазиупругого pp -рассеяния при взаимодействии ускоренных дейtronов с ядрами водорода.

Экспериментальная установка состоит из дистанционно управляемой мишенной станции [28] с полиэтиленовой и углеродной мишенью и четырех сцинтилляционных телескопов (рис. 13). Основу аппаратуры составили два мониторных телескопа F_L и F_R спектрометра, установленные под углом 14° слева и справа от теплого участка кольца ускорителя. Для выделения протонов отдачи установка была дополнена двумя телескопами B_L и B_R , которые были выставлены под углами $\pm 68^\circ$. Углы 14° и 68° были выбраны исходя из кинематических параметров реакции квазиупругого pp -рассеяния, когда анализирующая способность реакции максимальна.

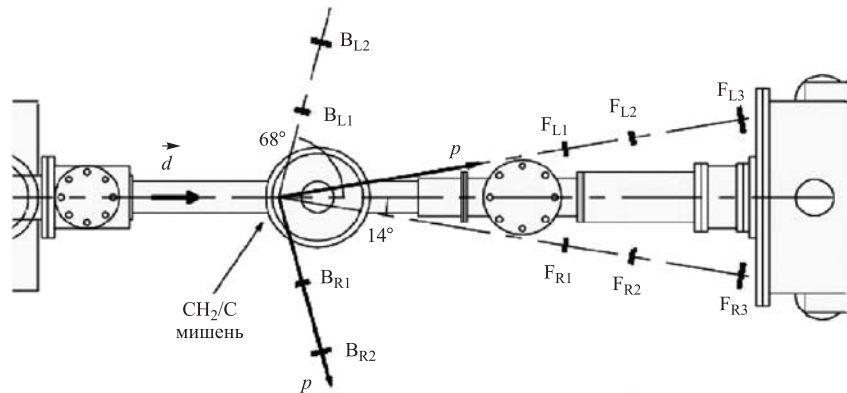


Рис. 13. Схема поляриметра PINTA

Поляризация пучка P_B для неполяризованной мишени записывается следующим образом:

$$P_B = \frac{1}{A_{yy}} \frac{(N^+ - N^-)}{(N^+ + N^-)}, \quad (32)$$

где N^+ , N^- — интенсивность (число зарегистрированных событий) в зависимости от знака и величины поляризации пучка, A_{yy} — анализирующая способность упругого pp -рассеяния.

С помощью этой аппаратуры была измерена степень поляризации векторно-поляризованного пучка дейтронов при нескольких значениях импульсов ускоренных дейтронов от 3 до 5 ГэВ/с. Было показано, что поляриметр

PINTA позволяет проводить измерения за короткое время при относительно малой интенсивности пучка дейtronов (например, при первичной интенсивности 10^9 для измерений с точностью 1 % требуется около 10 мин) и работать одновременно с другими пользователями. Полученные результаты (поляризация $\sim 0,55 - 0,60$) находятся в хорошем согласии с данными, полученными при независимом измерении поляризации пучка на поляриметре, работавшем на выведенном пучке.

2.2. Ядерные пучки нуклotronа. Большой прогресс в последние годы был достигнут при ускорении пучков ионов на нуклotronе. Так, например, были ускорены пучки ядер ^{12}C , ^{24}Mg и ^{10}B с интенсивностями до $8 \cdot 10^9$, $1 \cdot 10^8$ и $1 \cdot 10^5$ част./цикл соответственно, а затем впервые были ускорены ионы $^{40}\text{Ar}^{16+}$ с кинетической энергией $\sim 1 \text{ A ГэВ}$ и интенсивностью $1,4 \cdot 10^6$ част./цикл. Работы с ускорением ионов промежуточной массы успешно продолжаются, были ускорены и выведены из ускорителя ионы железа $^{56}\text{Fe}^{24+}$ с кинетической энергией 1 A ГэВ и с интенсивностью $5 \cdot 10^5$ част./цикл. На рис. 14 приведена фотография взаимодействия ускоренного иона ^{56}Fe с ядром ядерной эмульсии. Слева виден трек ядра-снаряда иона железа с большим числом δ -электронов, в центре наблюдается звезда, состоящая из фрагментов столкнувшихся ядер и вторичных частиц.

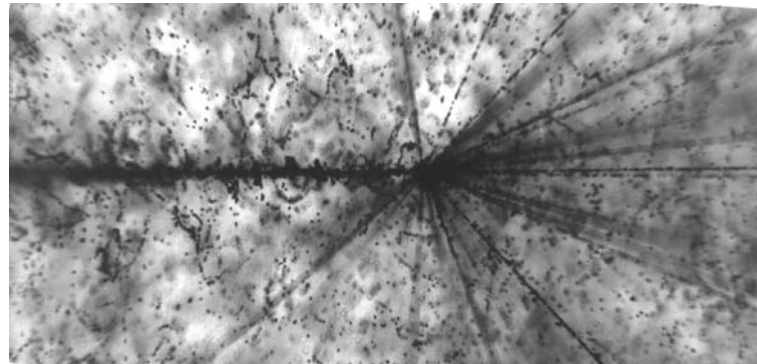


Рис. 14. Результат столкновения ядра ^{56}Fe с ядром вещества эмульсии при 1 A ГэВ

Параллельно с ускорением ионов промежуточной массы регулярно проводятся работы по ускорению легких стабильных и радиоактивных ядер, таких как ^9Be , ^8B , ^{10}B , ^{11}B , ^9C и других, с целью изучения их кластерной структуры.

В ближайшем будущем, как было отмечено выше, планируется увеличение массы ускоряемых ядер вплоть до массы ядер Au и U с энергией до 5 A ГэВ . Эти планы тесно связаны с возможностью изучения сигналов фа-

зового перехода из адронной материи в кварк-глюонную плазму через промежуточную смешанную фазу.

3. НЕКОТОРЫЕ ПОСЛЕДНИЕ РЕЗУЛЬТАТЫ, ПОЛУЧЕННЫЕ НА СИНХРОФАЗОТРОНЕ

Ряд экспериментов по поиску коллективных эффектов в ядрах был описан в разд. 1. Вслед за первым экспериментом по обнаружению кумулятивного эффекта группой В. С. Ставинского в ЛВЭ ОИЯИ в 1973 г. [29] последовало его детальное исследование не только в ОИЯИ, но и в других научных центрах [30–32]. Для иллюстрации на рис. 15 приведена энергетическая зависимость одного из параметров, характеризующих кумулятивный эффект, T_0 — параметр наклона энергетической зависимости сечения образования пионов для $p + \text{Си}$ -столкновений в направлении назад в лабораторной системе [30]. Инвариантное сечение аппроксимировалось следующим выражением:

$$E d^3\sigma/dp^3 = C \exp(-T_\pi/T_0), \quad (33)$$

где T_π — кинетическая энергия рожденных пионов. Хорошо видна закономерность выхода T_0 на асимптотический режим в районе энергий 4–5 ГэВ. Это может указывать на то, что в области энергий ускорительного комплекса ЛВЭ ОИЯИ начинает проявляться кварк-глюонное строение ядерной материи, т. е. происходит переход от нуклонных к кварк-глюонным степеням свободы.

Следует отметить, что исследования свойств кумулятивного эффекта интенсивно продолжались на синхрофазotronе также с использованием пучков поляризованных частиц (п. 3.1). В п. 3.2 будут представлены некоторые интересные результаты по обнаружению новых резонансных состояний при анализе снимков с однометровой водородной и двухметровой пропановой пузырьковых камер. Параллельно проводилось исследование ядро-ядерных столкновений с целью изучения механизма множественного образования частиц и их распада (п. 3.3).

Обзор последних результатов, полученных на синхрофазotronе до 2001 г., приведен в работах [17, 33]. Там же дана и ссылка на обзор [34] с информацией о последних результатах.

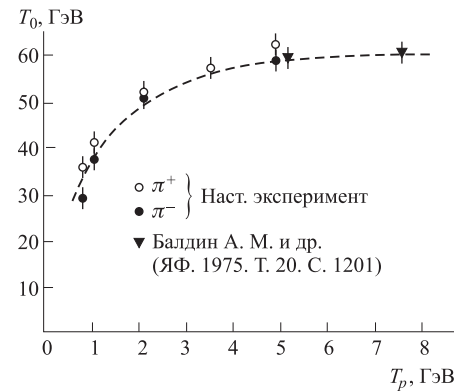


Рис. 15. Зависимость параметра T_0 для пионов под углом 180° для $p + \text{Си}$ -столкновений от энергии налетающих протонов T_p

мацией о более ранних работах, выполненных на ускорительном комплексе ЛВЭ. В дополнение к этому далее будут представлены некоторые интересные результаты последних лет.

3.1. Спиновые явления. Главной целью эксперимента ДЕЛЬТА-СИГМА (руководители Л. Н. Струнов и В. И. Шаров) было изучение нуклон-нуклонных взаимодействий с использованием вторичного пучка поляризованных нейтронов высокой энергии вплоть до кинетической энергии 3,7 ГэВ. Такая возможность имелась в мире только на синхрофазотроне.

Квазимонохроматический пучок нейтронов получался из ускоренных и выведенных векторно-поляризованных дейtronов синхрофазотрона. Нейтроны проходили через большую поляризованную протонную мишень.

В экспериментах на синхрофазотроне в 1995–2001 гг. были получены новые данные для энергетической зависимости $\Delta\sigma_L(np)$ спин-зависимой разницы полных сечений $\Delta\sigma_L(np)$ (рис. 16). Величины $\Delta\sigma_L(np)$ при этом измерялись как разность между полными np -сечениями для параллельных и антипараллельных поляризаций пучка и мишени, ориентированных вдоль импульса пучка. Наблюдался неожиданно быстрый спад $\Delta\sigma_L(np)$ с ростом энергии выше 1,1 ГэВ.

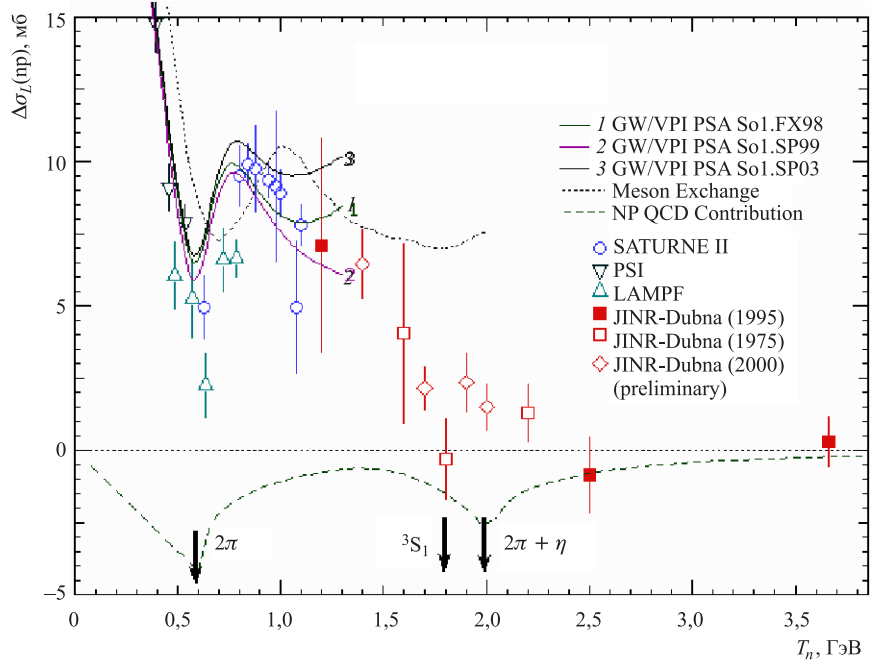


Рис. 16. Энергетическая зависимость $\Delta\sigma_L(np)$

Экспериментальные результаты были сравнены с предсказаниями обычной теории мезонного обмена NN -рассеяния (МЕ) и фазовым анализом (PSA). Видно, что эти оценки обеспечивают только качественное описание данных при низких энергиях и сильно расходятся с данными при энергии выше 1 ГэВ. В [35, 36] обсуждается модель непертурбативного взаимодействия между кварками, индуцированного сильными флуктуациями вакуумных глюонных полей, т. е. инстантонами. Однако вклад, зависящий от энергии, в $\Delta\sigma_L(np)$ был оценен только на качественном уровне.

Для того чтобы завершить эти исследования, планируется измерить энергетическую зависимость $\Delta\sigma_T(np)$ с поперечной поляризацией пучка нейтронов и протонов мишени. Эти эксперименты будут продолжены на нуклоне.

В 2002 г. для проведения на установке полного опыта на уникальном пучке квазимохроматических нейтронов по измерению одновременно с $\Delta\sigma_T(np)$ спиновых корреляций в pr -перезарядке под углом 0° в л. с. к. была подготовлена, смонтирована и введена в эксплуатацию система трекинга протонов. С помощью системы многопроволочных пропорциональных камер в составе магнитного спектрометра получено оптимальное выделение импульсного пика $pr \rightarrow pn$ -перезарядки при кинетической энергии поляризованных нейтронов $T_n = 1,3$ и $1,5$ ГэВ.

На реконструированном спектрометре с интенсивным неполяризованным нейтронным пучком в сеансе на нуклоне успешно измерены полные pr -сечения при $T_n = 1,3$ и $1,5$ ГэВ (п. 4.2).

В эксперименте АЛЬФА на синхрофазотроне в 1992–1993 гг. изучены различные спиновые характеристики реакции фрагментации дейтрона на ядрах с вылетом протона-фрагмента вперед практически во всем доступном на этих ускорителях диапазоне энергий. Это соответствовало внутренним импульсам в дейтроне до $0,57$ ГэВ/с. Одной из измеренных характеристик был коэффициент передачи векторной поляризации κ . Его зависимость от внутреннего импульса k в дейтроне приведена на рис. 17 вместе с модельными расчетами А. Кобушкина (штриховая кривая) и с использованием парижской волновой функции дейтрона (сплошная кривая) в рамках импульсного приближения.

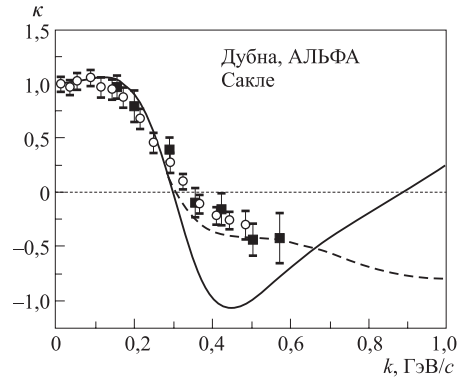


Рис. 17. Коэффициент передачи векторной поляризации κ от дейтрона к стриппинговому протону в реакции полного раз渲а дейтрона в зависимости от k

Видно изменение знака κ при $k \sim 0,35 \text{ ГэВ}/c$. Необходимо продвижение к более высоким значениям внутреннего импульса для оценки асимптотического поведения этой величины.

Возможно продолжение этих работ на нуклоне при условии получения выведенных пучков векторно-поляризованных дейtronов с требуемой энергией и интенсивностью пучка дейtronов (проект КАППА, руководитель И. М. Ситник).

В эксперименте АЛПОМ (руководитель Н. М. Пискунов) в двух сеансах синхрофазотрона в 2001 г. была измерена анализирующая способность A_y полиэтилена различной толщины в инклюзивной реакции $p \uparrow + \text{CH}_2 \rightarrow p + X$ для импульсов протонов-снарядов 3,8, 4,5 и 5,3 ГэВ/c. При этом был использован пучок поляризованных протонов, полученных от стриппинга ускоренных и выведенных векторно-поляризованных дейtronов.

Было получено (рис. 18, *a*), что для протонов с энергией 3,8 ГэВ/c величина A_y практически не зависит от толщины материала при значениях толщины от 37 до 80 г/см². Анализирующая способность реакции $p \uparrow + \text{CH}_2 \rightarrow p + X$ падает с ростом импульса первичных протонов (рис. 18, *б*), но она все-таки значима и при импульсах протонов 5,3 ГэВ/c.

В широкой области p_t анализирующая способность A_y для графита и полиэтилена CH_2 имеет максимум в районе $p_t = p \sin \Theta \sim 0,3 \text{ ГэВ}/c$.

В будущем предполагается продолжение измерений A_y для реакций $p \uparrow + \text{CH}_2(\text{C})$ с использованием поляризованных протонов на нуклоне с импульсами до 6,5 ГэВ/c. Таких данных в мире пока нет, но они нужны, например, для проведения исследований протонных формфакторов при значениях квадратов переданных импульсов Q^2 больше 10 ГэВ² в Лаборатории Джейферсона (США).

Совместный эксперимент Московского государственного университета и ЛВЭ ОИЯИ с использованием сцинтиляционного магнитного спектрометра (установка СМС МГУ, Москва) и эксперимент ПИКАСО на установке СФЕРА были последними исследованиями, проведенными на синхрофазотроне в конце 2002 г.

В эксперименте СМС МГУ (руководители Л. И. Сарычева и А. А. Ершов) использовался пучок поляризованных дейtronов с интенсивностью $3 \cdot 10^9$ дейtron/цикл. Стриппинговые поляризованные протоны с энергией 2,51 ГэВ и 3,0 ГэВ взаимодействовали с углеродной и медной мишнями. Основной измеряемой величиной была векторная анализирующая способность A .

Целью эксперимента было измерить анализирующие способности A в рассеянии вторичных поляризованных протонов на внутриддерных нуклонах в сравнении с аналогичными измерениями величины A для рассеяния на свободных нуклонах в области энергий 1–4 ГэВ и, таким образом, проверить модельные предсказания для зависимости от энергии.

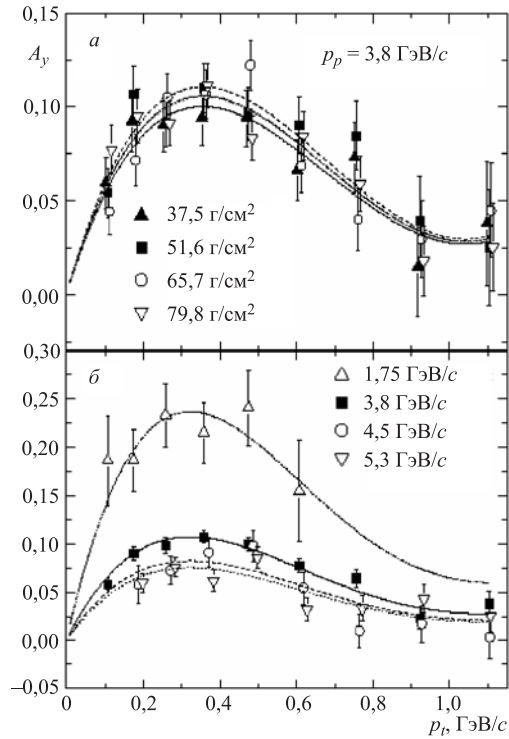


Рис. 18. Анализирующая способность A_y как функция p_t для разных толщин мишени при $3,8 \text{ ГэВ}/c$ (а) и для разных импульсов при толщине $51,6 \text{ г}/\text{см}^2$ (б)

Параметр R подавления анализирующей способности $A(T)$ может быть вычислен по формуле

$$R_{pN}(T) = 2A_{qe}(T)/[A_{pp}(T) + A_{pn}(T)] \quad (34)$$

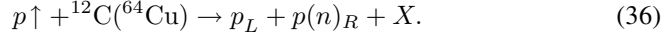
для рассеяния на любых внутриядерных нуклонах либо

$$R_{pp}(T) = A_{qe}^p(T)/A_{pp}(T) \quad (35)$$

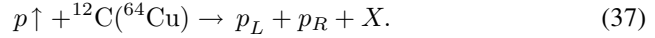
для рассеяния только на внутриядерных протонах. Здесь $A_{qe}(T)$ и $A_{qe}^p(T)$ — это анализирующая способность $A(T)$ для квазиупругого канала без регистрации и с регистрацией протона отдачи, $A_{pp}(T)$ и $A_{pn}(T)$ — характеристика $A(T)$ для рассеяния на свободных протонах и нейтронах и T — кинетическая энергия протонов.

В эксперименте первый случай соответствует измерению $A(T)$ протонно-ядерного рассеяния с выделением квазиупругого канала посредством магнит-

ного анализа импульса лидирующей частицы, но без какого-либо разделения протон-протонного или протон-нейтронного взаимодействия:



Второй случай соответствует измерению $A(T)$ протон-ядерного рассеяния с регистрацией протона отдачи:



Здесь $p(n)$ означает протон (нейтрон), X — любой другой продукт реакции и индексы $L(R)$ означают левое (правое) направление рассеяния.

Энергетическая зависимость параметра R_{pC} для протон-протонного (темные значки) и протон-нуклонного (светлые значки) квазиупругого рассеяния представлена на рис. 19 вместе с оценкой их асимптотического поведения (сплошная линия с $R(T) \rightarrow 0,67$ для pp - и пунктирная линия с $R(T) \rightarrow 0,96$ для pN -рассеяния). На рис. 19 показано сравнение с модельными оценками в рамках импульсного приближения, где предполагается слабая связанность нуклонов.

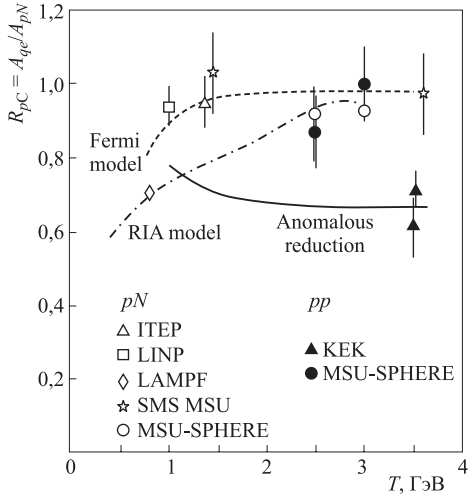


Рис. 19. Энергетическая зависимость параметра R для протон-протонного (темные значки) и протон-нуклонного (светлые значки) квазиупругого рассеяния и оценка их асимптотического поведения (сплошная линия с $R(T) \rightarrow 0,67$ для pp - и пунктирная линия с $R(T) \rightarrow 0,96$ для pN -рассеяния). Показано также сравнение с модельными оценками, полученными в рамках импульсного приближения

Перед проведением данного эксперимента на основе существующих экспериментальных данных была выдвинута гипотеза, что анализирующие способности рассеяния на внутриядерных протонах и нейтронах подавлены существенно различным образом в области кинетических энергий протонов 1–4 ГэВ. Для проверки гипотезы представлялось необходимым провести измерение обоих, R_{pN} и R_{pp} , параметров при одних и тех же экспериментальных условиях в нескольких точках по энергии в указанном диапазоне.

Это было сделано в данном эксперименте. Существенно, что в инклюзивной реакции измерялось усредненное по протонам и нейtronам значение анализирующей способности и одновременно регистрировался протон отдачи, выделяющий pp -рассеяние. Поэтому данный эксперимент чувствителен к возможному различию подавлений анализирующих способностей для pp - и $p\pi$ -взаимодействий.

Как видно из рис. 19, на пучке стриппинговых поляризованных протонов было впервые измерено одновременно в рамках одного эксперимента (СФЕРА ЛВЭ ОИЯИ – СМС МГУ, Москва) подавление анализирующей способности протон-нуклонного взаимодействия при рассеянии на внутриядерных нуклонах для инклюзивного взаимодействия с регистрацией только лидирующего протона и протон-протонного взаимодействия, когда протон-мишень также регистрируется детектором частиц отдачи.

Анализ полученного материала показал, что подавление анализирующей способности при исследованных энергиях не превышает 0,15 в обоих каналах и аномально большого подавления в реакции с выделением протона не наблюдается. Измеренные значения R_{pN} в совокупности с данными LAMPF при 0,8 ГэВ хорошо описываются в рамках импульсного приближения. Параметры подавления анализирующей способности на ядрах углерода и меди практически совпадают.

Предполагается продолжение этой программы исследований на нуклоне с использованием в качестве первичных пучков поляризованных дейtronов и стриппинговых поляризованных протонов. Следует при этом подчеркнуть, что нигде в мире в настоящее время не существует поляризованных пучков, перекрывающих указанный диапазон энергий. Планируется провести измерения подавления анализирующей способности для квазиупругого рассеяния поляризованных дейtronов на ядрах углерода при разных энергиях вместе с изучением A -зависимости параметра R для ядер мишней от Be до Pb и прямым измерением параметра R для протон-нейтронного рассеяния.

Второй эксперимент — ПИКАСО, проводимый под руководством Л. С. Золина, направлен на исследование спиновой структуры дейтрана при малых межнуклонных расстояниях. С целью получения такой информации ранее была выполнена серия экспериментов на пучках поляризованных дейtronов в Дубне и Сакле с использованием неполяризованных мишней [37]. Предсказания в рамках импульсного приближения для спиновых переменных

описывают экспериментальные данные только в области малых внутренних импульсов нуклонов в дейтроне $k < 0,25$ ГэВ/с.

Это хорошо видно на рис. 20, где приведены данные по T_{20} для реакций развала $d + A \rightarrow p + X$ и для упругого рассеяния назад дейтрона $d + p \rightarrow p + d$ в зависимости от значения k . Расчетная зависимость T_{20} в рамках импульсного приближения, полученная с использованием стандартной двухкомпонентной волновой функции дейтрона, основанной на парижском NN -потенциале, имеет минимум при $k = 0,3$ ГэВ/с (сплошная кривая). Учет процессов перерассеяния и взаимодействия в конечном состоянии позволяет улучшить согласие с экспериментом, по крайней мере, при k до 0,6 ГэВ/с (штриховая кривая). Описание поведения $T_{20}(k)$ в области больших k , т. е. в области кора дейтрона, не получено.

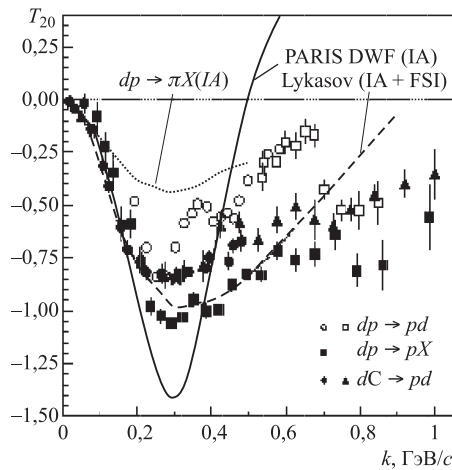


Рис. 20. Данные по T_{20} для реакций развала $d + A \rightarrow p + X$ и для упругого рассеяния назад дейтрона $d + p \rightarrow p + d$ в зависимости от значения k . Сплошная кривая — расчет в рамках импульсного приближения с использованием парижской ДВФ, штриховая кривая — расчет с учетом взаимодействия в конечном состоянии. Точечная кривая показывает предсказание прямого механизма для реакции $dp \rightarrow \pi(0^\circ)X$, когда кумулятивный пион рождается во взаимодействии высокомоментного нуклона в дейтроне с нуклоном мишени ($NN \rightarrow NN\pi$)

Эти факты мотивировали проведение измерений анализирующей способности в реакциях фрагментации дейтрона в кумулятивные мезоны.

Впервые была изучена фрагментация тензорно-поляризованных дейтронов с импульсом 9 ГэВ/с в кумулятивные пионы в реакции $d \uparrow + \text{H,C,O,Be} \rightarrow \pi + X$ при углах эмиссии пионов в области 0, 135 и 180 мрад. Можно

видеть сильную зависимость тензорной анализирующей способности A_{yy} от поперечного импульса при фрагментации тензорных поляризованных дейtronов с энергией 9 ГэВ в кумулятивные пионы (рис. 21). При увеличении поперечного импульса пиона от 0,4 до 0,8 ГэВ/с тензорная анализирующая способность A падает от 0 до $-0,4$. Стартовая точка падения $A_{yy}(p_t)$ соответствует кумулятивной переменной $X = 1$, что является началом кумулятивного режима. Изменение $A_{yy}(p_t)$ является линейным при обоих углах эмиссии пионов 135 и 180 мрад.

Новые данные при импульсе дейtronов 5 ГэВ/с были получены в последнем сеансе синхрофазотрона в ноябре 2002 г. Цель последних измерений — выяснить энергетическую зависимость A_{yy} через сопоставление новых данных при 5 ГэВ/с и предшествующих данных, полученных при 9 ГэВ/с. Это важно для интерпретации механизма реакции.

Зависимость тензорной анализирующей способности A_{yy} от кумулятивной переменной X_c представлена на рис. 22. Кумулятивное число X_c равно минимальной фрагментирующей массе в единицах массы нуклона, необходимой для рождения кумулятивного пиона с импульсом q_π . При фрагментации дейтрона в пион переменная X_c изменяется от 1 до 2.

Видно, что энергетическая зависимость A_{yy} в интервале импульсов дейtronов 5–9 ГэВ/с очень значительна и при угле эмиссии пионов 0 мрад A_{yy} меняет знак. В интервале значений кумулятивной переменной X_c от 1,0 до 1,5 поведение величины A_{yy} существенно различается при энергиях 5 и 9 ГэВ/с. Значительный рост абсолютной величины A_{yy} наблюдается только при 9 ГэВ/с, что скоррелировано с большими значениями поперечного импульса пионов p_t при 9 ГэВ/с.

Поскольку p_t является ведущей переменной, управляющей поведением A_{yy} , чрезвычайно важно исследовать поведение A_{yy} при больших значениях p_t ($> 0,8$ ГэВ/с).

Цель исследований на установке МАРУСЯ (руководитель А. А. Балдин) состоит в изучении редких подпороговых кумулятивных процессов и рождения антиматерии с учетом поляризации сталкивающихся объектов, извлечении событий по степени центральности и плоскости реакции на основе дополн-

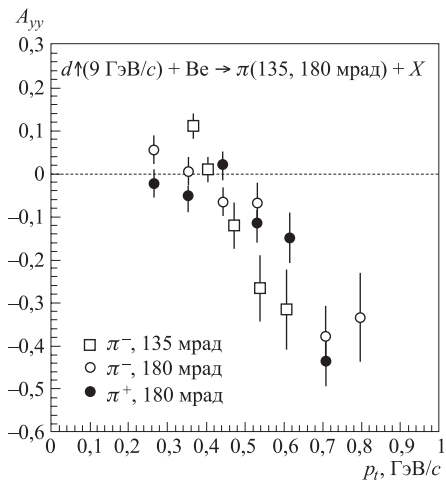


Рис. 21. Зависимость A_{yy} от поперечного импульса пионов p_t

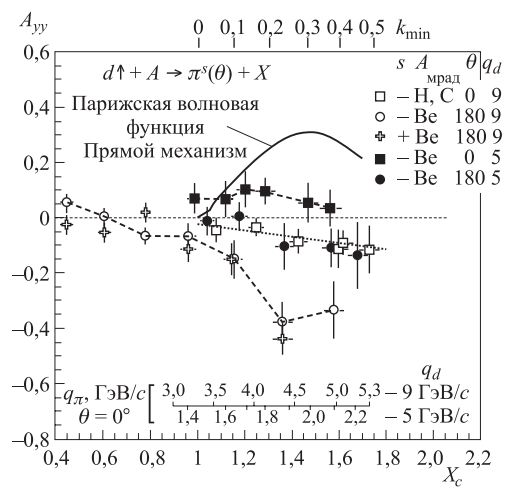


Рис. 22. Тензорная анализирующая способность A_{yy} как функция кумулятивной переменной X_c при фрагментации дейtronов с импульсами 5 и 9 ГэВ/с на мишенях Н, С, О и Be. Для $\theta = 0^\circ$ показаны шкала импульсов пионов q_π и шкала минимальных внутренних импульсов k_{\min} (k_{\min} — минимальный внутренний импульс k нуклона N_i в дейтроне, необходимый для рождения пиона при соответствующем X_c в рамках прямого механизма в реакции $N_i N \rightarrow NN\pi$)

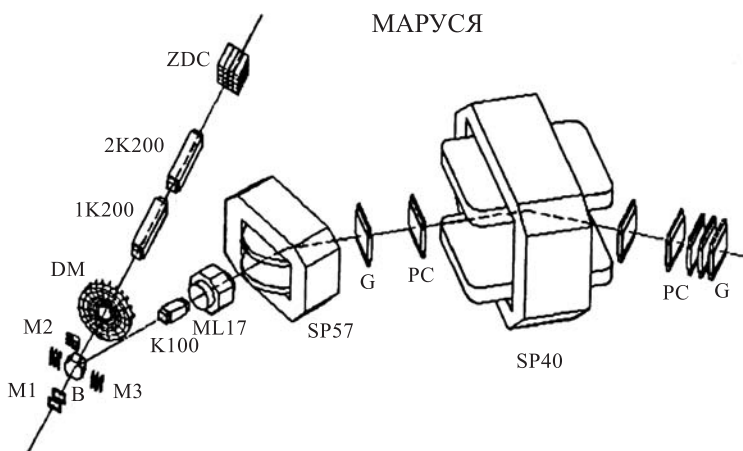


Рис. 23. Схема установки МАРУСЯ

нительного измерения множественности и идентификации ядерных фрагментов, не участвующих во взаимодействии. Исследование таких процессов возможно только с применением магнитооптических спектрометров, имеющих высокий аксептанс и высокую селективность вторичных частиц. Магнитооптический спектрометр МАРУСЯ введен в строй в 2002 г. Схема установки МАРУСЯ приведена на рис. 23. Здесь М1–М3 — система мониторирования пучка; К100, МЛ17 — магнитные линзы; SP57, SP40 — дипольные магниты; В — система окружения мишени; РС — пропорциональные камеры; G, DM и ZDC — сцинтилляционные гадоскопы, детектор множественности и адронный калориметр.

Были проанализированы экспериментальные данные по односпиновым анализирующими способностям при рождении π^+ -мезонов, протонов и дейtronов во взаимодействиях поляризованных протонов с энергией 3,3 ГэВ/с и тензорных поляризованных дейtronов с энергией 5 ГэВ/с с углеродной мишенью на пучках синхрофазотрона. На рис. 24 приводятся основные результаты этих исследований.

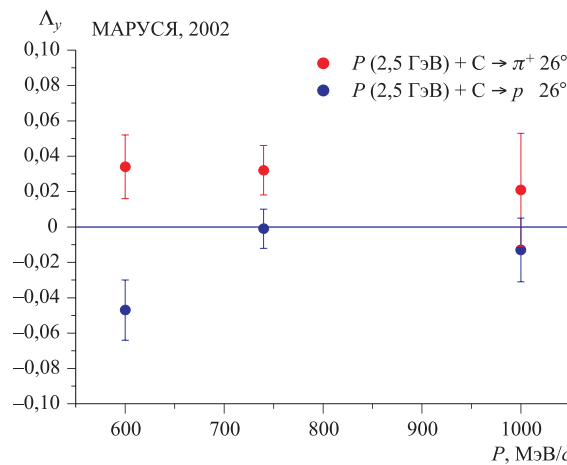


Рис. 24. Анализирующая способность A_y для векторного поляризованного пучка

Анализирующие способности в инклузивных спектрах при взаимодействии поляризованного протонного (3,3 ГэВ/с) и дейtronного (5,0 ГэВ/с) пучков с ядрами углерода измерены в импульсном интервале зарегистрированных частиц 0,6–1,2 ГэВ/с под углом 26°. Видно, что в этом диапазоне импульсов векторная анализирующая способность для π^+ -мезонов падает и для протонов растет с увеличением импульса частиц.

В дальнейшем предполагается продолжение работ по проекту МАРУСЯ на нуклоне. Показано, что существующие интенсивности поляризованных пучков нуклона достаточны для планируемых исследований на установке МАРУСЯ.

Так, например, в декабре 2003 г. на нуклоне уже начато экспериментальное исследование рождения антиматерии. Получены первые данные по рождению антипротонов и K -мезонов в реакциях $p + Pb$, $p + Al$. Следует подчеркнуть, что, кроме того, вторичные пучки, полученные на магнитооптическом спектрометре МАРУСЯ, обеспечивают экспериментальные условия для развития и испытания детекторов новых типов.

3.2. Наблюдение узких экзотических резонансов. После ускорения на синхрофазotronе ЛВЭ дейtronов был создан канал квазимохроматических нейтронов на однометровую жидкокристаллическую камеру. Для получения пучка нейтронов использовалась реакция стриппинга дейtronов на алюминиевой мишени, размещенной внутри ускорителя [38]. Канал имел уникальные характеристики ($\Delta p_n/p_n = 2,5\%$, $\Delta\Omega_n = 10^{-7}$ ср, легко регулируемая энергия пучка), что позволило с высокой степенью надежности выделять эксклюзивные каналы реакций pr -взаимодействий и изучать их характеристики.

При анализе снимков с однометровой водородной и частично с двухметровой пропановой пузырьковых камер, облученных на синхрофазotronе пучками монохроматических нейтронов, группой физиков ЛВЭ под руководством Ю. А. Трояна были обнаружены экзотические типы резонансных состояний с изотопическим спином $5/2$ в системах $\Delta^{++}\pi^+$ и $\Delta^-\pi^-$, а также новые резонансы, распадающиеся на два протона или два отрицательных пиона.

Этой же группой физиков при анализе фотографий нейtron-протонных взаимодействий при импульсе монохроматических нейтронов $5,2 \text{ ГэВ}/c$ было установлено также существование нового семейства неизвестных ранее резонансов в системе $\pi^+\pi^-$ -мезонов с квантовыми числами σ_0 -мезона. В этом семействе наиболее статистически обеспеченный резонанс при массе $757 \text{ МэВ}/c^2$ внесен в 2000 г. в таблицы мировых данных об элементарных частицах [39]. Существование таких мезонов как квантов скалярного поля принципиально важно для теории.

Ранее, в 1994–1997 гг., Д. Дьяконов, В. Петров и М. Поляков [40] предложили развитие схемы $SU(3)$ -симметрии на состояния с положительной странностью $S = +1$. Было провозглашено существование антидекуплета $\overline{10}$, в который входят состояния (так называемые пентакварки), содержащие 5 кварков ($uudd\bar{s}$). В вершине антидекуплета стоит Θ -резонанс с массой $M = 1,530 \text{ ГэВ}/c^2$, шириной $\Gamma \leq 15 \text{ МэВ}/c^2$, гиперзарядом $Y = 2$, изотопическим спином $I = 0$, со спином-четностью $J^P = 1/2^+$.

Предсказанные свойства частиц из антидекуплета таковы, что позволяют прямой поиск эффектов. Это и сравнительно небольшие массы, и доступные для прямого измерения ширины. Гипотеза сначала очень подробно обсужда-

лась (и до сих пор обсуждается) теоретиками, позже появился целый ряд экспериментальных работ. Три из наших исследовательских групп занимались обработкой старого экспериментального материала, полученного в экспериментах на синхрофазотроне. При этом был обнаружен резонанс в системах nK^+ или pK_s^0 с массой $\sim 1,540 \text{ ГэВ}/c^2$ и шириной $3 \div 25 \text{ МэВ}/c^2$ и другие резонансы в системе $K_s^0\Lambda$.

В группе Ю. А. Трояна исследовано образование и свойства барионных резонансов со странностью $S = +1$ в системе nK^+ в реакции $np \rightarrow nK^+K^-$ при импульсе падающих нейтронов $p_n = (5,20 \pm 0,12) \text{ ГэВ}/c$. Обнаружен ряд особенностей в спектре эффективных масс указанной системы [41].

На рис. 25 приведена одна из возможных диаграмм образования резонанса θ^+ в системе nK^+ .

На рис. 26 приведены распределения по эффективным массам nK^+ для наиболее значимых резонансов с массами 1,541, 1,606 и 1,687 $\text{ГэВ}/c^2$.

Под каждым графиком приведены значения выбранных по массам nK^+K^- областей и указаны границы дополнительного ограничения по углам вылета вторичного нейтрона в общей с. ц. м. Пунктирными линиями на рисунке обозначены фоновые кривые. Сплошные линии — аппроксимирующие кривые.

В настоящее время подготовлен и реализуется новый проект НИС (в сотрудничестве с Лабораторией физики частиц ОИЯИ), в рамках которого предлагается провести поиск таких объектов на нуклононе. Руководителями проекта НИС являются А. Г. Литвиненко (ЛВЭ) и Е. А. Строковский (Лаборатория физики частиц ОИЯИ).

3.3. Эксперименты с ядерными пучками. Главной целью экспериментов на установке СФЕРА на синхрофазотроне (под руководством А. И. Малахова) было исследование фрагментации релятивистских ядер в геометрии, близкой к 4π . Некоторые новые данные были получены с помощью переднего детектора установки, перекрывающего область фрагментации ядра-снаряда. Были измерены инклузивные спектры и зависимости сечения от номера ядра-мишени A_t для реакции фрагментации ускоренных дейtronов с импульсами от 7,3 до 8,9 $\text{ГэВ}/c$ в кумулятивные π^- -мезоны. Показано, что эти спектры подобны для всех использованных мишней (H, He, C, Cu и Pb).

Зависимость сечения от атомного номера ядра-мишени оказалась периферической для $A_t > 12$ ($d\sigma_\pi \sim A^{0,4}$) и более крутой в районе водородной мишени (рис. 27). Эта зависимость была описана с учетом взаимодействия рожденных пионов с нуклонами в ядре-мишени. Лучшее описание данных получено в предположении, что длина формирования пиона $l_\pi = (3 \pm 1) \text{ фм}$ [42].

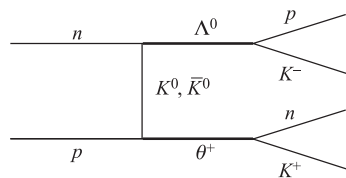


Рис. 25. Один из возможных механизмов образования резонанса $\theta^+(uudd\bar{s})$ в системе nK^+

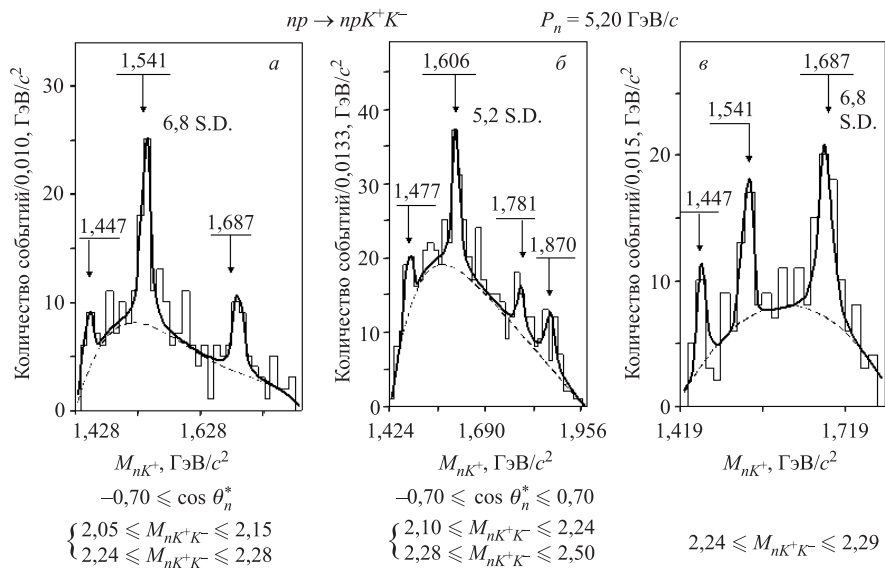


Рис. 26. Распределение эффективных масс nK^+ - комбинаций из реакции $np \rightarrow npK^+K^-$ при импульсе нейтронов $p_n = (5,20 \pm 0,12)$ ГэВ/с: для резонанса с массой
a) $M = 1,541$ ГэВ/ c^2 ; б) $M = 1,606$ ГэВ/ c^2 ; в) $M = 1,687$ ГэВ/ c^2

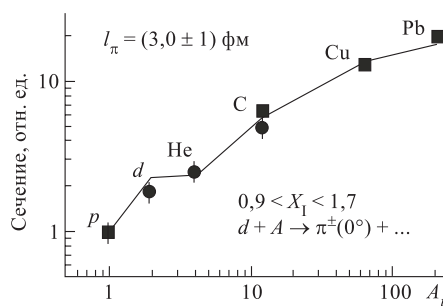


Рис. 27. Сечение рождения кумулятивных пионов как функция атомного номера ядра-мишени A_t

клоне и ядрах. Количественные оценки позволяют определить характер взаимодействия кварков на расстояниях, сравнимых с размерами нуклона. Сравнения указанных распределений в нуклоне и различных

В 1986–1992 гг. на 90-канальном черенковском гамма-спектрометре ЛВЭ (Х. У. Абраамян и др., установка ФОТОН) был выполнен цикл экспериментов на пучках синхрофазотрона по инклюзивному образованию π^0 -мезонов в протон-ядерных и ядро-ядерных взаимодействиях вблизи и за кинематической границей для нуклон-нуклонных столкновений. Проводимые эксперименты были направлены на исследование продольной и поперечной компонент импульсного распределения кварков в ну-

ядрах позволяют оценить роль коллективных эффектов в ядре. Кроме того, целью проведенных экспериментов было выяснение механизма рождения мезонов вблизи и за кинематической границей для нуклон-нуклонных столкновений.

Экспериментальная аппаратура (рис. 28) позволяла измерять как направления, так и энергии γ -квантов, образуемых в результате распада π^0 -мезонов. Подробное описание установки содержится в работах [43–45].

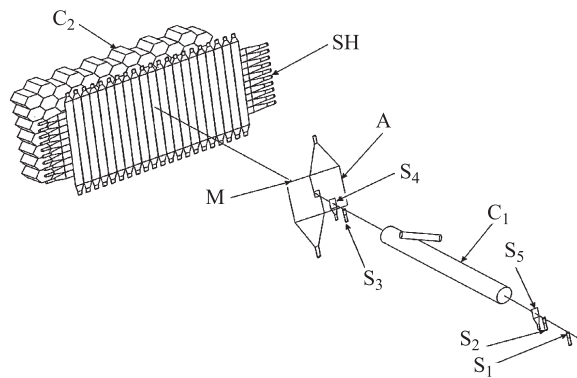


Рис. 28. Схема расположения экспериментальной аппаратуры: S₁÷S₅ — сцинтилляционные счетчики; C₁ — пороговый газовый счетчик; A — сцинтилляционный счетчик, работающий в режиме антисовпадений; M — мишень; SH — годоскопические сцинтилляционные счетчики; C₂ — 90-канальный черенковский гамма-спектрометр из свинцового стекла

Угловой интервал регистрируемых π^0 -мезонов $\Delta\theta = \pm 16^\circ$, что обеспечивает диапазон поперечных импульсов, измеряемых в одном эксперименте, практически от 0 до 1 ГэВ/с.

В проведенном цикле экспериментов получены следующие основные результаты [43, 45].

1. Впервые в одном эксперименте измерены A -зависимости инвариантного сечения рождения π^0 -мезонов как для ядра-мишени, так и для ядра-снаряда. Наблюдалась нетривиальная A -зависимость для ядра-снаряда: показатель степени m в параметризации $Ed^3\sigma/d^3p \sim A_p^m$, где A_p — атомная масса налетающего ядра (α , C^{12}), достигает значения $2,1 \pm 0,1$ при $X = 1,9$ (рис. 29). Переменная X аналогична переменной Бьеркена, но определяется с учетом конечности масс частиц, участвующих в реакции, а именно из законов сохранения энергии-импульса для реакции $XN_i + N_T = (X + 1)N_f + \pi$.

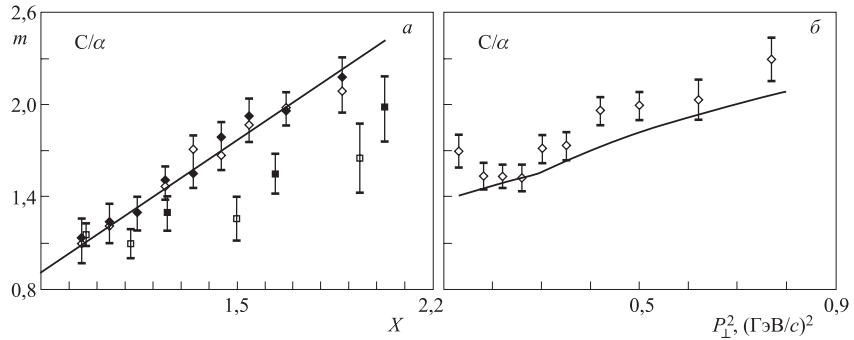


Рис. 29. Зависимость степени m в параметризации $Ed^3\sigma/d^3p \sim A_p^m$, где A_p – атомная масса налетающего ядра (α , C^{12}), от кумулятивного числа X (а) и от P_\perp^2 (б). Представлены дубненские данные, полученные на углеродной (\diamond) и медной (\square) мишнях. Точки \square , \blacksquare – данные, полученные в Беркли на углеродной мишени, при импульсах налетающих ядер соответственно 1,8 и 2,9 ГэВ/с на нуклон. Кривая (б) рассчитана с учетом роста среднего значения X по интервалу $\theta_\pi \leq 16^\circ$ и $E_\pi \geq 2$ ГэВ в предположении, что зависимости инвариантного сечения от P_\perp^2 для фрагментирующих ядер α и ^{12}C одинаковы

Полученные данные указывают на то, что характер A_p -зависимости рассматриваемого процесса в области $\theta_\pi \leq 16^\circ$ и $E_\pi \geq 2$ ГэВ определяется в основном величиной X и слабо меняется с изменением поперечного импульса пионов.

2. Найдено факторизованное представление инвариантного сечения реакции $p + C \rightarrow \pi^0 + x$ при импульсе 4,5 ГэВ/с, в области $X_F \geq 0,66$, где X_F – переменная Фейнмана:

$$Ed^3\sigma/d^3p = c(a - X_F)^N \Phi(P_\perp^2), \quad (38)$$

где $a = 1,032 \pm 0,008$; $N = 2,79 \pm 0,13$; $\Phi(P_\perp^2) = \exp[-P_\perp^2/(0,10 \pm 0,01)]$ (P_\perp в ГэВ/с), при $\chi^2/\text{степ. своб.} = 5,1/11$. Найденные закономерности позволяют интерпретировать функцию $\Phi(P_\perp^2)$ как импульсное распределение夸克ов в системе покоя протона. Таким образом, средний импульс夸克ов в протоне

$$\langle P_q \rangle \cong 320 \text{ МэВ.}$$

В рамках эксперимента ГИБС на синхрофазотроне под руководством Ю.Лукстиньша были получены новые данные по исследованию образования гиперъядер и по изучению возбуждения дельта-изобар в ядре. Установка ГИБС является магнитным спектрометром на основе стримерной камеры с размерами $1,9 \times 0,8 \times 0,6$ м. Весьма интересен результат по наблюдению

расширения объема, из которого излучаются узкие пионные пары в MgMg-взаимодействиях. М. И. Подгорецкий предложил метод измерения скорости (и размеров) источника интерференционным методом. Этот метод позволяет получить прямое экспериментальное доказательство нестационарности объема генерации пионов. Это доказательство было впервые получено на установке ГИБС в ЛВЭ для центральных MgMg-взаимодействий при 4,4 ГэВ/с [46] и позднее подтверждено коллаборацией NA49 в CERN на ускорителе SPS в столкновениях ядер свинца при энергии 158 ГэВ/нуклон.

На рис. 30 представлена корреляция быстрот ($Y = 0,5 \ln [(1 + \beta)/(1 - \beta)]$) элементов объема Y_{source} , излучающего пионы, и быстрот пионных пар Y_{subset} в продольном и поперечном направлении относительно оси реакции в системе покоя MgMg. Из экспериментальных данных видно, что пионы из различных областей кинематического спектра испускаются различными элементами источника, движущимися друг относительно друга. Для случая стационарного источника корреляции между этими быстротами должны отсутствовать.

В связи с низкой скоростью набора данных эксперименты по изучению гиперядер на синхрофазотроне были приостановлены. Коллаборация ГИБС планирует продолжать эти исследования на нуклотроне, пучки которого позволяют увеличить скорость набора данных в 10 или более раз. Дополнительное улучшение на фактор 10 будет получено с использованием пропорциональных камер вместо стримерной камеры.

В рамках коллаборации EMU01 с помощью эмульсионного детектора с высоким угловым разрешением измерена эмиссия заряженных релятивистских ($\beta > 0,7$) частиц в ядерных взаимодействиях с (Ag, Br) для разных ядер-снарядов (от кислорода до свинца) в интервале импульсов от 1 до 160 A ГэВ/с [47].

Проведен систематический фурье-анализ азимутальных угловых спектров вторичных частиц и получены уникальные данные об энергетической зависимости параметра v_2 , характеризующего эллиптический поток частиц. Результаты эксперимента представлены на рис. 31.

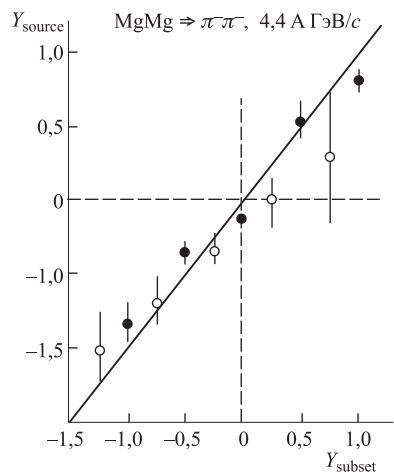


Рис. 30. Корреляция быстрот элементов объема Y_{source} , излучающего пионы, и быстрот пионных пар Y_{subset} в продольном (○) и поперечном (●) направлении относительно оси реакции в системе покоя MgMg

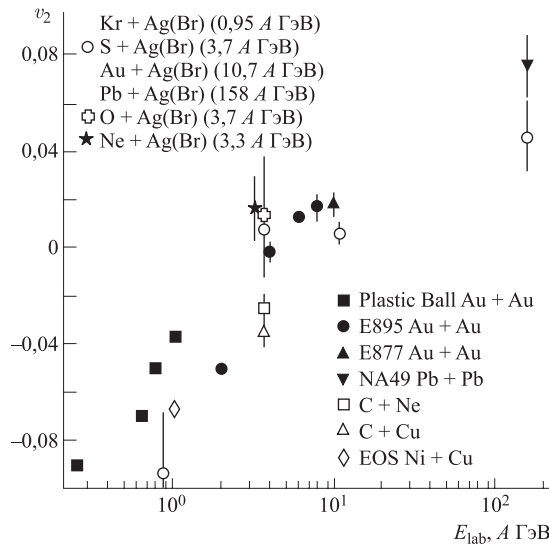


Рис. 31. Энергетическая зависимость параметра v_2 для непериферических ядерных взаимодействий с тяжелыми ядрами (Ag и Br) эмульсионного детектора и сравнение с данными других экспериментов

Эллиптический поток частиц — участников соударения меняет свой знак при дубненских энергиях с минуса для низких энергий (эффект выдавливания) на плюс для ультратрелиativистских энергий (положительный эллиптический поток в плоскости реакции). Это может служить предвестником возможного фазового перехода адронной материи в состояние кварк-глюонной плазмы.

В эксперименте БЕККЕРЕЛЬ на выведенном пучке ядер ${}^6\text{Li}$ с импульсом 2,67 $\text{A GeV}/c$ был сформирован вторичный пучок, содержащий $\sim 1\%$ ядер ${}^6\text{He}$ и 99 % ядер ${}^3\text{H}$.

Получены новые данные по характеристикам ядерных взаимодействий ${}^6\text{He}$ и процессу перезарядки ядра ${}^3\text{H}$ в ядро ${}^3\text{He}$ с помощью ядерных фотомультилей [48]. Зарегистрированы взаимодействия внешних нейтронов ядра ${}^6\text{He}$ с ядрами фотомультилей и процесс когерентного срыва внешних нейтронов ядра ${}^6\text{He}$ (рис. 32). Трехмерный образ события был реконструирован с помощью измерительного комплекса PAVICOM в ФИАН (Москва).

Изучение распада горячих ядер, энергия возбуждения которых 400–600 МэВ сравнима с полной энергией связи ядра, было выполнено в экспериментах на 4π -установке ФАЗА на выведенных пучках релятивистских протонов и легких ионов совместно с Лабораторией ядерных проблем ОИЯИ (рук. эксперимента В. А. Карнаухов). Исследование свойств очень го-

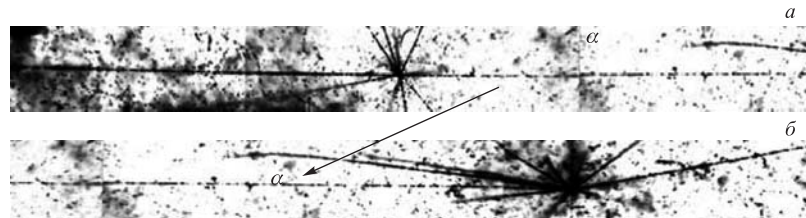


Рис. 32. Событие взаимодействия ядра ${}^6\text{He}$ в фотоэмulsionии с фрагментацией в α -частицу (a). Трек от α -частицы прослежен до ее неупругого взаимодействия (b)

рячих ядер — одна из интереснейших задач современной ядерной физики, имеющая отношение к проблеме фазовых переходов в ядерном веществе.

На установке ФАЗА были изучены процессы множественной эмиссии фрагментов промежуточной массы ($3 \leq Z \leq 20$), которые возникают при распаде возбужденного спектатора мишени в сильно асимметричных соударениях при релятивистских энергиях («легкий» пучок + тяжелая мишень, в данном эксперименте — золото).

Впервые доказано экспериментально, что для горячих ядер, получаемых на релятивистских пучках p , ${}^4\text{He}$, ${}^{12}\text{C}$, испарение частиц сменяется процессом тепловой ядерной мультифрагментации. Это новый многотельный тип распада возбужденных ядер, при котором происходит множественная эмиссия фрагментов промежуточной массы. Они тяжелее α -частиц, но легче осколков деления. При этом распад горячих ядер происходит после их значительного (примерно в три раза) расширения за счет теплового давления.

Плотность в момент развала составляет примерно $1/3$ от нормальной ядерной плотности. Это следует из анализа распределения по относительной скорости совпадающих фрагментов при больших корреляционных углах и энергетических спектров фрагментов. В терминах термодинамики это означает, что перед развалом ядро оказывается в спинодальной области, для которой характерна фазовая неустойчивость системы жидкость–газ. За счет флуктуаций плотности однородная ядерная жидкость переходит в смесь жидкой (ядерные фрагменты) и газовой (нуклоны) фаз. Температура системы при этом существенно меньше критической T_c для фазового перехода жидкость–газ и составляет 5–7 МэВ [49]. Эта система, названная ядерным туманом, раздается под действием кулоновских сил и регистрируется как мультифрагментация. Было доказано, что тепловая мультифрагментация является фазовым переходом (I рода) жидкость–туман для ядерной системы, оказавшейся в спинодальной области [50–52].

Более того, на основе анализа зарядовых спектров фрагментов промежуточной массы была определена критическая температура T_c для фазового

перехода жидкость–газ. Зарядовое распределение фрагментов $Y(Z)$, измеренное для реакции протонов с энергией 8,1 ГэВ с ядрами Au, анализировалось в рамках статистической модели мультифрагментации с критической температурой T_c в роли свободного параметра. Распределение $Y(Z)$ при этом аппроксимируется степенной зависимостью $Y(Z) \sim Z^{-\tau}$. В результате получено значение критической температуры $T_c = (17 \pm 2)$ МэВ.

Коллаборацией ФАЗА подготовлена программа будущих экспериментов на нуклоне.

4. ФИЗИЧЕСКИЕ РЕЗУЛЬТАТЫ, ПОЛУЧЕННЫЕ В ЭКСПЕРИМЕНТАХ НА НУКЛОТРОНЕ

4.1. Эксперименты на внутренних пучках нуклоне. Первые физические эксперименты на нуклоне начались в 1993 г. [53, 54]. Один из этих экспериментов на внутренних пучках нуклоне был выполнен с помощью установки СКАН-1 (спектрометр кумулятивных адронов на нуклоне, рук. С. В. Афанасьев). Целью эксперимента было измерение поперечного размера области ядро-ядерных взаимодействий с рождением кумулятивных частиц. Для этого использовался метод измерения корреляций кумулятивных протонов-фрагментов мишени с малыми относительными импульсами [55]. Схема установки приведена на рис. 33.

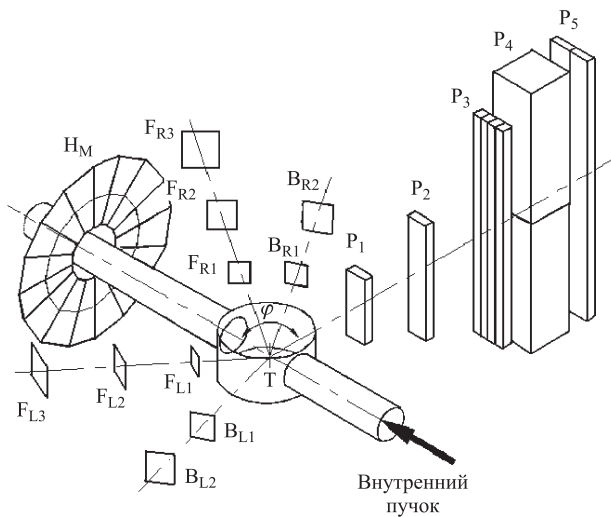


Рис. 33. Схема установки СКАН-1

Сцинтиляционный двухплечевой спектрометр позволял регистрировать два протона в импульсном диапазоне 0,28–0,72 ГэВ/с и при относительной разности импульсов двух протонов $q = p_1 - p_2 < 0,2$ ГэВ/с. Детекторы P_1 , P_2 и P_3 использовались для выработки триггерного сигнала и определения времени пролета (TOF-система), P_4 — для регистрации кинетической энергии частиц и P_5 — для выделения высокоэнергичных частиц, прошедших через все слои вещества. Спектрометр был установлен под углами $\theta = 106\text{--}112^\circ$ относительно оси пучка. 16-канальный сцинтиляционный гаммоскоп H_M , просматривающий угловой диапазон $15\text{--}30^\circ$, использовался для селекции прицельного параметра. Два тройных монитора F_L и F_R , установленных под углами 32° и 68° , были использованы для мониторирования светимости.

Были измерены корреляционные функции протонов, испущенных в соударениях протонов и дейtronов с разными мишенями (C, Cu) при малых относительных импульсах q . В результате этих измерений были получены приблизительно одинаковые радиусы взаимодействия для $d + C \rightarrow p + p + X$ и $d + Cu \rightarrow p + p + X$ процессов при $2 A\text{ГэВ/с}$, равные $r_{dC} = (3,0 \pm 0,5)$ фм и $r_{dCu} = (3,0 \pm 0,5)$ фм [56]. Позже было показано, что радиус области эмиссии не зависит от типа частицы-снаряда, но слабо растет с увеличением угла измерения.

В первых экспериментах на нуклоне были также проведены измерения с помощью многоканального (2×16 каналов) черенковского γ -спектрометра из свинцового стекла (установка ФОТОН-2, рис. 34). Целью этих измерений была оценка фоновых условий и изучение возможностей регистрации π^0 - и η -мезонов в экспериментах на внутренних пучках нуклонона. В результате анализа данных были найдены оптимальные условия отбора сигналов и показана возможность надежной идентификации π^0 - и η -мезонов. В настоящее

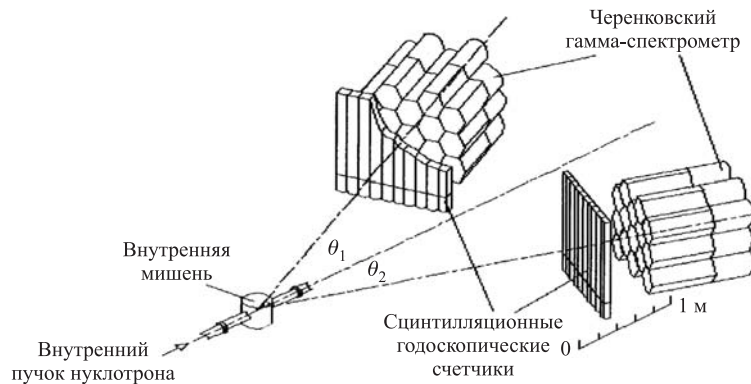


Рис. 34. Схема расположения экспериментальной аппаратуры установки ФОТОН-2

время начаты эксперименты по набору физической информации на внутренних пучках протонов и ядер.

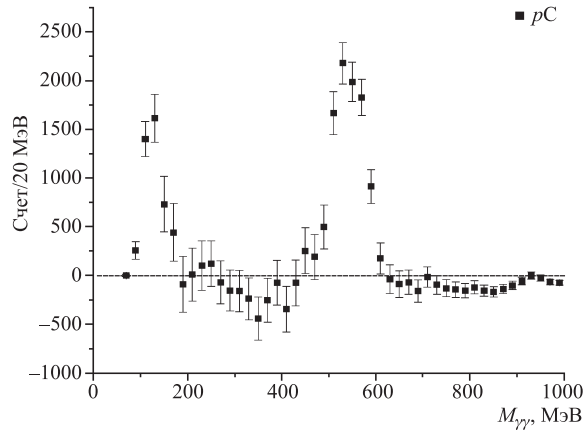


Рис. 35. Распределение по эффективной массе попарно скомбинированных γ -квантов за вычетом фона. Фон получен путем комбинирования случайно отобранных γ -квантов из разных событий (перемешиванием)

На рис. 35, 36 представлены данные, полученные на установке ФОТОН-2 на внутренних пучках нуклotronа (руководитель Х. У. Абраамян).

На рис. 35 представлены распределения по эффективной массе пар γ -квантов (за вычетом фона), зарегистрированных установкой в реакциях $p + C \rightarrow \gamma + \gamma + x$ при импульсе налетающих протонов 5,5 ГэВ/с. Как видно из рисунка, на установке надежно выделяются сигналы от распадов $\pi^0 \rightarrow \gamma\gamma$ ($M = 135$ МэВ) и $\eta \rightarrow \gamma\gamma$ ($M = 547$ МэВ).

На рис. 36 представлено отношение выходов пар γ -квантов в интервале масс 530–570 МэВ, образованных в реакции $d + C \rightarrow \gamma + \gamma + x$ (при импульсе налетающих дейtronов 2,8 ГэВ/с на нуклон), к аналогичным выходам в реакции $p + C \rightarrow \gamma + \gamma + x$ (при импульсе протонов 5,5 ГэВ/с), в зависимости от энергии $E_{\gamma 1} + E_{\gamma 2}$. Стрелкой указано значение энергии η -мезонов, соответствующее значениюю переменной $X = 1$ для реакции $d + C \rightarrow \eta + x$. Переменная X определена из законов сохранения энергии-импульса для реакции $X N_i + N_T = (X + 1) N_f + \eta$. Значение $X = 1$ соответствует кинематической границе для нуклон-нуклонного столкновения.

Как видно из рис. 36, при переходе в область $X > 1$ (область рождения подпороговых η -мезонов) нарушается режим экспоненциальной зависимости, тогда как для выходов π^0 -мезонов (см. рис. 37) экспоненциальный режим сохраняется во всей области $X > 0,6$ (данные, полученные ранее в цикле

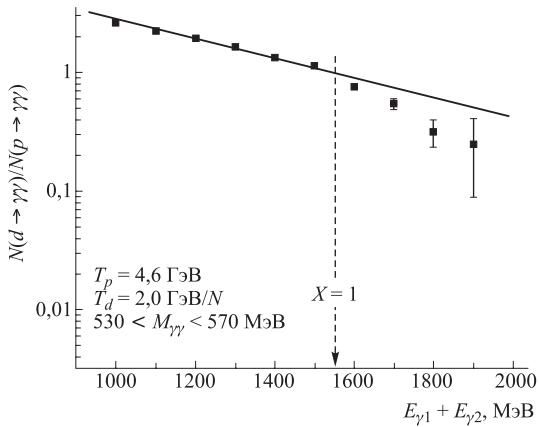


Рис. 36. Отношение выходов пар γ -квантов в интервале масс 530–570 МэВ, образованных в реакции $d + C \rightarrow \gamma + \gamma + x$ (при импульсе налетающих дейtronов 2,8 ГэВ/с на нуклон), к аналогичным выходам в реакции $p + C \rightarrow \gamma + \gamma + x$ (при импульсе протонов 5,5 ГэВ/с), в зависимости от энергии $E_{\gamma 1} + E_{\gamma 2}$

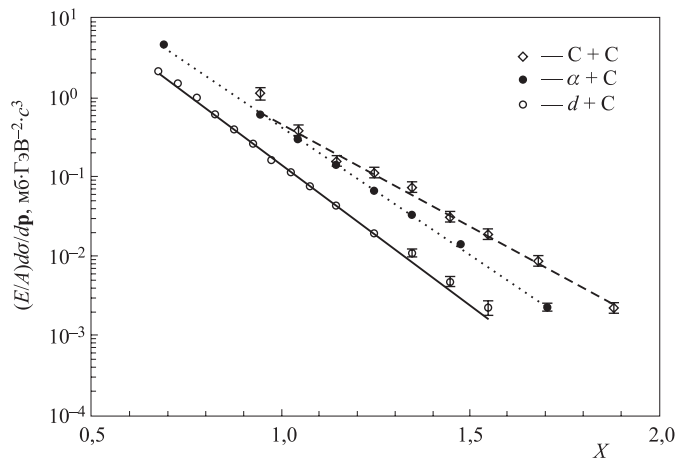


Рис. 37. Инвариантные сечения рождения π^0 -мезонов в зависимости от X для реакций $(d, \alpha, C) + C$ при импульсе налетающих ядер 4,5 ГэВ/с на нуклон

экспериментов на установке ФОТОН на пучках синхрофазотрона [43, 45]). Таким образом, получено указание на существенное различие в механизмах рождения π^0 и η -мезонов в ядро-ядерных взаимодействиях в подпороговой

области. Предварительно это может объясняться существенным вкладом в образование η -мезонов нуклонного возбуждения $N^*(1535)$, распадающегося в основном (30–55 %) на нуклон и η -мезон.

Установка ДЕЛЬТА-2 (рук. А. Б. Курепин и В. А. Краснов) была использована для исследования узкой резонансной структуры в реакции рождения пионов на ядрах при энергии ~ 350 МэВ на внутреннем пучке нуклotronа. Несмотря на кажущуюся простоту эксперимента по измерению инклюзивных спектров пионов исследование узкой резонансной аномалии в функции возбуждения оказывается достаточно сложным. Основная трудность — это обеспечение изменения энергии пучка через 1–2 МэВ с достаточной точностью около 0,1 МэВ, причем хотя бы в одной точке необходимо знать абсолютную энергию пучка.

В 2004 г. были начаты работы по систематическому изучению данного эффекта резонансного усиления выхода пионов в протон-ядерных и дейtron-ядерных реакциях. Измерения проводились на внутреннем пучке нуклотрона при использовании мишеней из серебра, меди, алюминия и углерода в течение двух сеансов в марте и июне 2004 г. В летнем сеансе была впервые использована новая версия внутренней мишени (рис. 38).

Схема установки ДЕЛЬТА-2 и предварительные результаты экспериментов приведены на рис. 39 [57, 58]. Для относительного контроля интенсивности во время работы используется телескоп из двух мониторных счетчиков M1, M2, установленных вблизи мишениной станции.

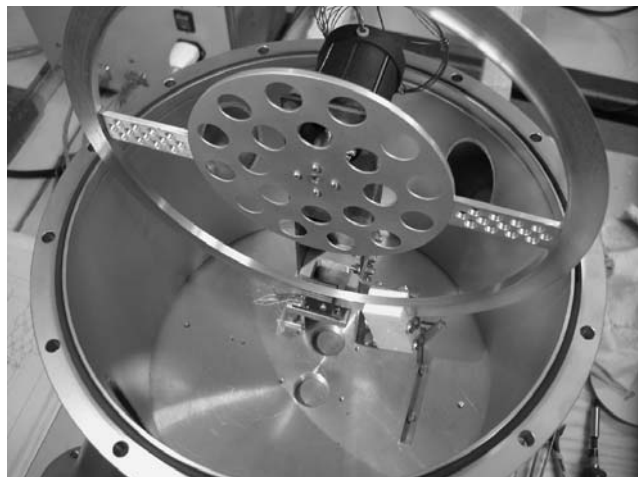


Рис. 38. Вид сверху на новую внутреннюю мишень нуклотрона

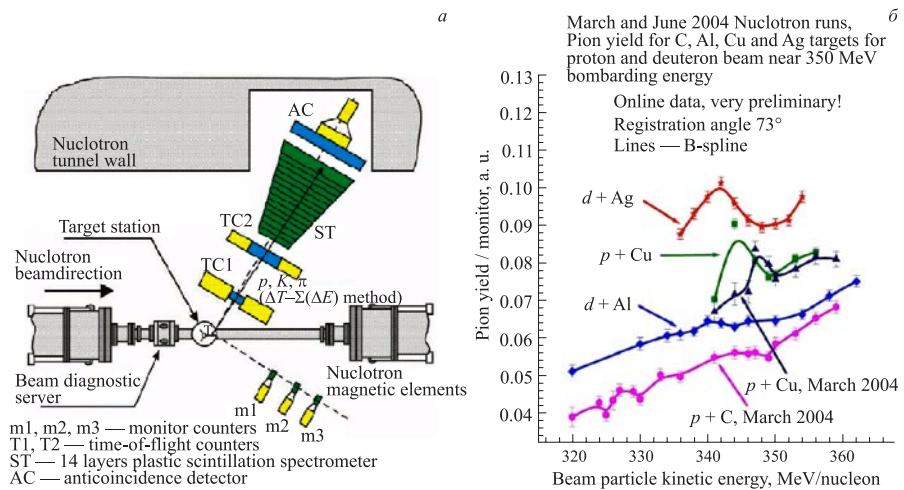


Рис. 39. *a*) Схема установки ДЕЛЬТА-2, *б*) выходы пионов во взаимодействиях протонов и дейтронов с разными мишенями в зависимости от энергии пучка

Для регистрации вылетающих из мишени пионов под углом 73° служило плечо спектрометра заряженных частиц ТС1, ТС2, СТ, АС. Детекторы ТС1 и ТС2 образуют времяпролетный спектрометр. Для определения кинетической энергии и идентификации типа частицы совместно с времяпролетным спектрометром используется слоистый сцинтилляционный спектрометр полного поглощения СТ. Детектор антисовпадений АС, установленный на выходе спектрометра, служит для ограничения рабочего диапазона измеряемых энергий заряженных частиц до области полного поглощения при ионизационном торможении в материале спектрометра.

Видно, что для более тяжелых мишеней, начиная с Cu, появляется узкий максимум в области энергии пучка 350 МэВ/нуклон. Это означает, что данный эффект может иметь ядерную природу.

В 2005 г. измерения продолжались с целью проверки этих данных. Был измерен выход пионов под углом 73° при бомбардировке мишени Ag пучком дейтронов с энергиями от 320 до 360 МэВ (рис. 40). Видно, что эти предварительные данные подтвердили наличие резонансной структуры в выходе пионов в реакции дейтронов на тяжелой мишени.

Для объяснения наблюдаемого эффекта требуются дополнительные экспериментальные данные. В 2006 г. планируется изучить этот эффект более детально для различных мишеней, бомбардирующих частиц и углов испускания пионов.

Экспериментальная программа проекта ЛНС включает измерения сечений, векторной и тензорных анализирующих способностей в dp -упругом рассеянии и в реакции раз渲ала дейтрана в dp -взаимодействии в области кинетических энергий дейтрана от 300 до 500 МэВ. Первая фаза эксперимента была выполнена под руководством В. П. Ладыгина на ускорительном комплексе RIKEN в Японии при энергии поляризованных дейтранов 270 МэВ. В 2005 г. новые экспериментальные данные о разных поляризационных характеристиках, измеренных в реакции $d + d \rightarrow {}^3\text{He} + p$ (рис. 41, *a*), были опубликованы в [59, 60]. Измерения были выполнены с высокой точностью, что позволяет дискриминировать различные модели трехнуклонного связанного состояния до внутреннего импульса нуклона 600 МэВ/с. Эти исследования планируется продолжить на пучках поляризованных дейтранов ускорительного комплекса ЛВЭ в рамках нового проекта рНэ3 (разд. 5).

В 2005 г. модифицированная установка ЛНС была облучена на внутреннем пучке нуклотрона поляризованными дейтранами (рис. 41, *b*). Одной из целей эксперимента явилось исследование аномального углового поведения dp -упругого поперечного сечения, которое названо расхождением Сагары. Это явление отражает тот экспериментальный факт, что современные нуклон-нуклонные потенциалы не могут воспроизвести поведение поперечного сечения в дейтран-протонном упругом рассеянии вблизи 120° в системе центра масс. Только учет вклада трехнуклонных сил позволяет получить согласие с экспериментальными данными. Влияние трехнуклонных сил на это явление исследуется на установке ЛНС.

Новые данные об угловой зависимости упругого dp -рассеяния были получены при энергиях поляризованных дейтранов 270, 880 и 2000 МэВ. Данные при 270 МэВ были нужны для сравнения с измерениями, выполненными раньше в RIKEN при такой же энергии дейтранов (рис. 42, *a*).

Видно хорошее совпадение результатов измерений, проведенных в RIKEN и в ЛВЭ ОИЯИ.

Предварительные результаты измерений угловой зависимости A_{yy} в области расхождения Сагары при 880 МэВ приведены на рис. 42, *b*. Аналогич-

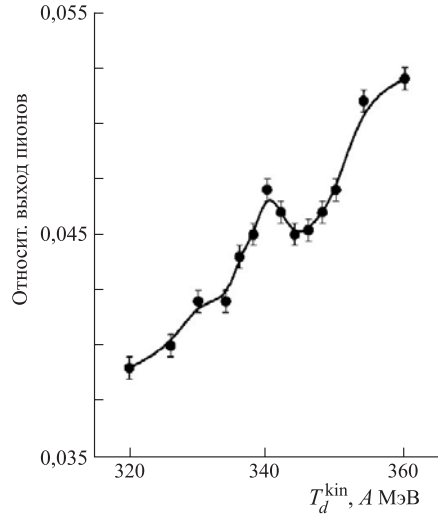


Рис. 40. Относительный выход пионов в реакциях $d + Ag$ в зависимости от энергии пучка, $\theta_\pi = 73^\circ$

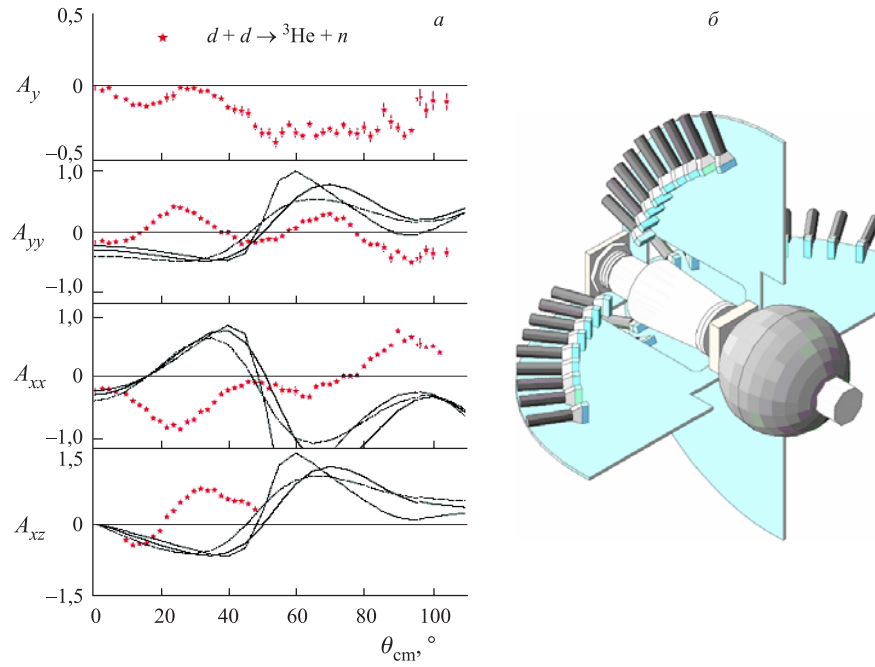


Рис. 41. а) Угловая зависимость векторной (A_y), тензорных (A_{yy}) и (A_{xx}) анализирующих способностей в реакции $d(d, {}^3\text{He})n$ при 270 МэВ. б) Вид последней модификации установки ЛНС на внутреннем пучке нуклotronа. Станция внутренних мишеней окружена 36 сцинтиляционными детекторами, расположенными в четырех плоскостях

ные данные, полученные при энергии 2000 МэВ, находятся в стадии обработки.

4.2. Эксперименты на выведенных пучках нуклотрона. На установке СТРЕЛА (рук. В. В. Глаголев и Н. М. Пискунов) предполагается провести изучение спиново-зависимой части нуклонной амплитуды рассеяния в зарядово-обменном процессе $pr \rightarrow pn$ на выведенном пучке дейтронов нуклотрона. При нулевой передаче импульса дифференциальное сечение реакции $dp \rightarrow (pp)n$ определяется спин-флиповой частью амплитуды зарядово-обменного процесса $pr \rightarrow pn$.

На возможность получения дополнительной информации об амплитуде элементарной реакции перезарядки $pr \rightarrow pn$ через измерение реакции перезарядки в экспериментах с неполяризованными дейтронами обратили внимание еще А. Б. Мигдал [61] и И. Я. Померанчук [62]. Схема соответствующих

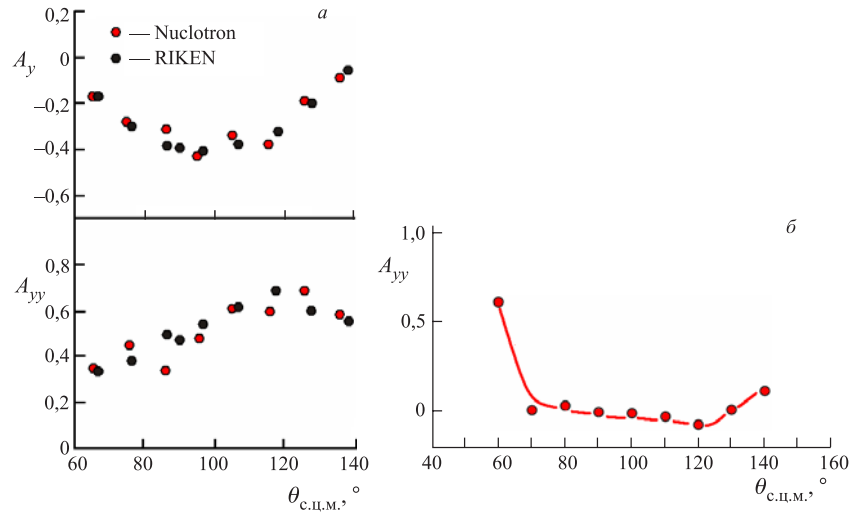


Рис. 42. *a*) Анализирующие способности A_y и A_{yy} d -упругого рассеяния в области расхождения Сагары при энергии дейtronов 270 МэВ (предварительные данные). *б)* A_{yy} d -упругого рассеяния в области расхождения Сагары при энергии дейtronов 880 МэВ (предварительные данные)

процессов в рамках импульсного приближения показана на рис.43: *a*) реакция перезарядки на протоне $pr \rightarrow pn$ и *б*) реакция перезарядки на дейтроне $dp \rightarrow (pp)n$. Вертикальные стрелки показывают направление спинов нуклонов.

Видно, что в первом случае (*a*) обе ориентации спина разрешены, но во втором случае (*б*) при малых углах вылета двух протонов (с малым относительным импульсом) реакция перезарядки происходит только в случае поворота спина (из-за принципа Паули). Таким образом, дейтрон является своеобразным спиновым фильтром.

С 2001 г. было проведено несколько методических сеансов. Так, например, в 2003 г. с помощью установки СТРЕЛА проведен эксперимент, в котором использовались пучки дейтронов с импульсами 3,5 и 4,0 ГэВ/с (рис. 44, *a*). Выведенный пучок дейтронов взаимодействовал с жидководородной мишенью Т, а первичные дейтроны отделялись от вторичных

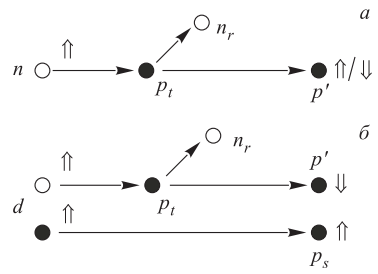


Рис. 43. Реакция перезарядки $pr \rightarrow pn$ в рамках импульсного приближения

частиц анализирующим магнитом М. Поток пучка дейtronов измерялся с помощью ионизационной камеры IC.

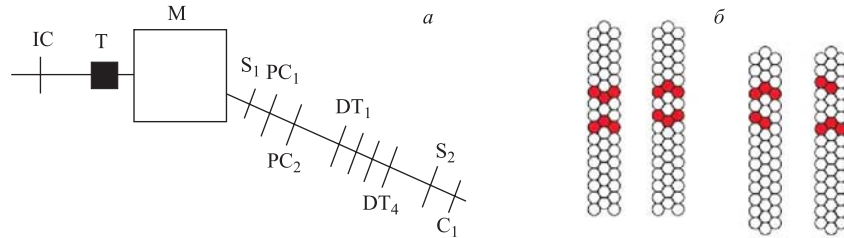


Рис. 44. а) Схема установки СТРЕЛА. б) Пример событий с двумя протонами в дрейфовых трубках

Сцинтилляционные счетчики S₁ и S₂ использовались для определения углового и импульсного акцептанса и для формирования триггера события. С целью регистрации одно- и двухпротонных событий использовались дрейфовые трубы DT₁-DT₄ и многопроволочные пропорциональные камеры PC₁, PC₂. Черенковский счетчик с кварцевым излучателем служил для подавления выхода пионов. Схема регистрации событий с двумя протонами представлена на рис. 44, б.

В эксперименте СКАН-2 (рук. С. В. Афанасьев) планировалось исследование фрагментации ядер дейтерия с образованием двух коллинеарных протонов с малыми относительными импульсами $0 < q < 50$ МэВ/с под углом 180° в с. ц. м. (реакция $d + p \rightarrow (pp)(180^\circ) + n$).

Кинематически эта реакция аналогична упругому рассеянию ядер дейтерия на угол 180° на протоне. Однако дополнительное условие — перезарядка нейтрона в протон приводит к существенному перераспределению вкладов каналов реакции в конечный результат. Были измерены сечения при двух импульсах налетающих дейtronов: 3 и 4 ГэВ/с.

Схематический вид спектрометра представлен на рис. 45. Он включает мониторные детекторы S₁-S₃, вершинную координатную систему T₁, T₂, анализирующий дипольный магнит и годоскопическую

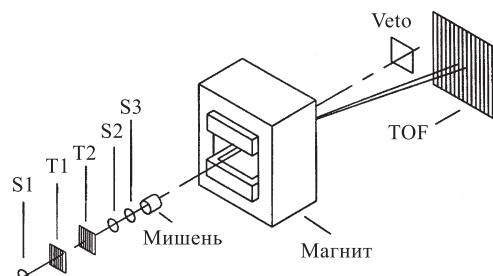


Рис. 45. Схематический вид спектрометра СКАН-2

скую 32-канальную систему для регистрации временной и координатной информации.

Результаты измерений сечения реакции $d + p \rightarrow (pp)_s + n$, полученные в июньском сеансе нуклotronа в 2003 г., приведены на рис. 46 [63]. На нем показано сравнение результатов измерений на спектрометре ANKE на ускорительном комплексе COSY в Юлихе (Германия) с теоретическими предсказаниями [64].

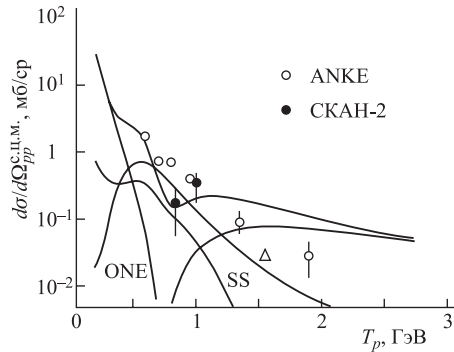


Рис. 46. Энергетическая зависимость сечения реакции $d + p \rightarrow (pp)_s + n$. Расчеты выполнены с использованием парижского NN -потенциала. Сплошной кривой показан суммарный вклад значимых процессов. Также приведены отдельные вклады (ONE+SS+ Δ)-расчетов, где ONE — однонуклонный обмен, SS — одночастичное рассеяние и Δ — возбуждение Δ -изобары

В рамках эксперимента ДЕЛЬТА-СИГМА в 2004 г. были выполнены измерения сечений перезарядки $pr \rightarrow pn$ на дейтериевой и протонной мишнях при их облучении пучком квазимохроматических неполяризованных нейтронов при энергиях нейтронов 1,0, 1,2, 1,8 и 2,0 ГэВ. В начале этого раздела было обращено внимание на возможность получения информации об амплитуде элементарной реакции перезарядки $pr \rightarrow pn$ через измерение реакции перезарядки в экспериментах с неполяризованными дейтронами.

Можно показать [65], что при нулевой передаче импульса дифференциальное сечение реакции $nd \rightarrow (nn)p$ определяется спин-флиповской частью амплитуды зарядово-обменного процесса $pr \rightarrow pn$. В случае рассеяния назад ($\theta_{\text{с.ц.м.}} = \pi$) и при условии импульсного приближения (между двумя медленными нейтронами практически нет взаимодействия) дифференциальное сечение реакции $nd \rightarrow (nn)p$ можно записать следующим образом:

$$(d\sigma/d\Omega)_{nd} = (2/3)(d\sigma/d\Omega)_{np}^{SD}, \quad (39)$$

где $(d\sigma/d\Omega)_{np}^{SD}$ — спиново-зависимая часть дифференциального сечения реакции упругого рассеяния $np \rightarrow np$ назад ($\theta_{\text{сцм}} = \pi$).

В эксперименте измерялись две величины. Нейтронный пучок падал на дейтериевую мишень, и определялось количество вылетающих протонов с такой же энергией, как энергия падающих нейтронов. При этом в процессе перезарядки $nd \rightarrow (nn)p$ остаются два очень медленных нейтрона. Аналогичная величина была измерена в упругом рассеянии нейтронов на протонной мишени.

Отношение этих двух величин по предсказанию теории будет соответствовать той части упругого рассеяния нейтронов на протонах, которая зависит от спина:

$$R_{qe}(\pi) = (d\sigma/d\Omega)_{nd}/(d\sigma/d\Omega)_{np} = (2/3)(d\sigma/d\Omega)_{np}^{SD}/(d\sigma/d\Omega)_{np}. \quad (40)$$

Результат измерений группой ДЕЛЬТА-СИГМА был представлен на Международных симпозиумах по спиновой физике в Праге (июль 2005 г.) и в Дубне (сентябрь 2005 г.) и приведен на рис. 47 в области энергий от 1 ГэВ до 2 ГэВ [65].

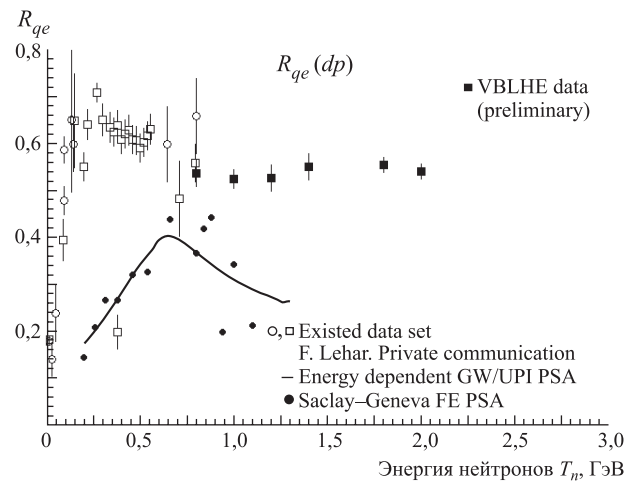


Рис. 47. Энергетическая зависимость R_{qe} — отношения сечений квазиупругого nd -рассеяния к упругому np -рассеянию. Сплошная кривая и кружки — аналогичные зависимости для чисто упругого рассеяния нейтронов на протонах, полученные с помощью фазового анализа при энергиях до 1,3 ГэВ, квадраты — компиляция существующих экспериментальных данных Ф. Легара

Видно, что новые данные зависят от энергии в диапазоне энергий первичных частиц 1–2 ГэВ и существенно расходятся с предсказанием по PSA.

Таким образом, полученные группой ДЕЛЬТА-СИГМА новые данные свидетельствуют о том, что при энергиях до 2 ГэВ импульсное приближение не работает.

В рамках проекта БЕККЕРЕЛЬ (рук. П. И. Зарубин) продолжалось облучение стопок ядерных фотоэмulsionий в выведенных пучках релятивистских ядер нуклotronа. Параллельно проводилась обработка и анализ старого экспериментального материала.

Изучалась мультифрагментация легких радиоактивных и стабильных ядер с начальной энергией выше 1 А ГэВ [66]. Использование ядерных пучков для решения поставленной задачи исследований в этой области энергий основано на известном явлении предельной фрагментации ядер. Это соответствует неизменности спектра фрагментов ядра-снаряда при дальнейшем увеличении энергии соударения и изменении состава ядер мишени.

Возможность изучения мультифрагментации релятивистских ядер в данной области энергий определяется точностью угловых измерений. Ядерная фотоэмulsionия благодаря своему высокому пространственному разрешению обеспечивает угловое разрешение следов релятивистских фрагментов около 10^{-5} рад. Таким образом, в экспериментах с ядерными фотоэмulsionиями имеется уникальная возможность наблюдать все возможные распады возбужденных состояний ядер на фрагменты.

Основной характеристикой мультифрагментации ядер является зарядовая топология фрагментов при малых передачах импульса. Пока были изучены особенности мультифрагментации некоторых ядер от ^6Li до ^{32}S .

Новые результаты были получены по исследованию α -кластерной структуры ядер ^{14}N и ^{9}Be , а также получены результаты по отношению вероятностей следующих каналов фрагментации релятивистских ядер с α -частицами в конечном состоянии:

$$\begin{aligned} ^6\text{Li} \quad (\text{He} + p)/(\text{He} + d) &\cong 1, \\ ^{10}\text{B} \quad (2\text{He} + p)/(2\text{He} + d) &\cong 1, \\ ^{14}\text{N} \quad (3\text{He} + p)/(3\text{He} + d) &\cong 2. \end{aligned}$$

В эксперименте КРИСТАЛЛ (рук. А. Д. Коваленко и А. М. Таратин) было исследовано параметрическое рентгеновское излучение, возникающее при взаимодействии умеренно релятивистских ядер с кристаллами.

Это излучение быстрых заряженных частиц в кристаллах возникает в результате дифракции поля виртуальных фотонов быстрой заряженной частицы на кристаллографических плоскостях. После теоретических предсказаний параметрического рентгеновского излучения оно было обнаружено и исследовано на пучках электронов различной энергии. Это излучение не связано с ускорением частиц, поэтому должно наблюдаться также и для тяжелых частиц. Кроме того, его выход пропорционален квадрату заряда частицы, и

большой заряд ядер должен обеспечивать более интенсивное излучение, чем от электронов.

Измерения были выполнены с кристаллами кремния и графита на пучке протонов с энергией 5 ГэВ и пучке ядер углерода с энергией 2,2 А ГэВ нуклонна [67, 68]. Для регистрации рентгеновских фотонов использовался полупроводниковый кремниевый спектрометр. Схема эксперимента представлена на рис. 48.

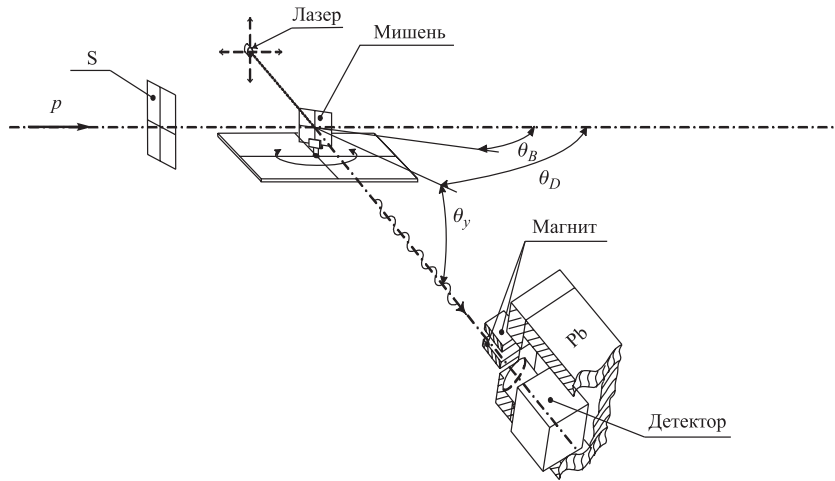


Рис. 48. Схема эксперимента по наблюдению параметрического рентгеновского излучения в кристаллах. S — ионизационный монитор пучка, θ_B — угол наклона кристалла к пучку, θ_D и θ_y — углы детектирования

Пучок падал на тонкий кристалл кремния под углом θ_B . Большие грани кристалла были параллельны плоскостям (001). Использовалась схема Брэгга, в которой детектор размещается под углом θ_D , близким к углу дифракции $2\theta_B$ на плоскостях (001).

Спектры рентгеновского излучения при взаимодействии протонов с энергией 5 ГэВ и ядер углерода с энергией 2,2 ГэВ/нуклон с тонким кристаллом кремния представлены на рис. 49. Максимумы α и β образованы фотонами паразитного характеристического излучения атомов никеля корпуса детектора, возбуждаемых вторичными частицами.

Максимумы, обозначенные γ , образованы за счет фотонов параметрического излучения. Положения максимумов зависят от угла ориентации кристалла и соответствуют теоретическим значениям для линий параметрического излучения.

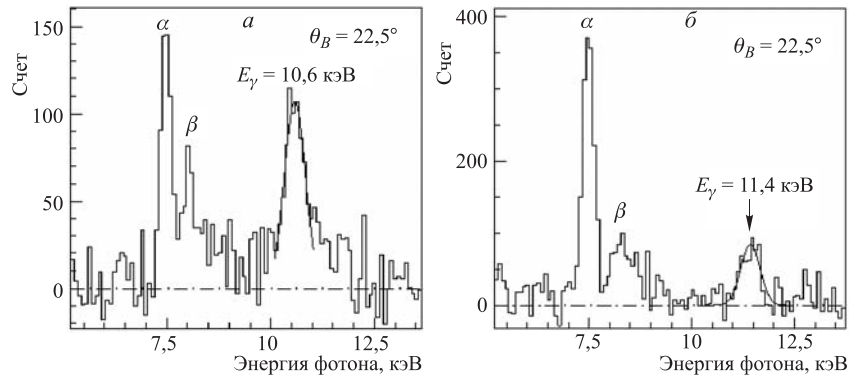


Рис. 49. Спектры излучения, зарегистрированные детектором при облучении кристалла кремния пучком протонов с энергией 5 ГэВ (а) и пучком ядер углерода с энергией 2,2 А ГэВ (б)

Таким образом, получено первое экспериментальное подтверждение существования параметрического излучения в кристаллах для тяжелых частиц — релятивистских ядер.

Обнаружение параметрического излучения в кристалле от релятивистских ядер открывает перспективы его использования для диагностики пучков ядер в различных ускорительных центрах. Существенным достоинством параметрического излучения является то, что фотонны генерируются под большими углами к пучку, высока вероятность их излучения и эффективность регистрации.

4.3. Прикладные исследования на выведенных пучках нуклotronа.

Пучки нуклотрона широко используются для прикладных исследований и включают следующие основные направления:

- радиобиология и космическая биомедицина;
- влияние ядерных пучков на компоненты микроэлектроники;
- трансмутация радиоактивных отходов;
- вопросы электроядерного метода генерации энергии;
- использование пучка углерода для терапии онкологических опухолей.

Эти исследования являются продолжением работ, начатых ранее на синхрофазотроне.

Исследования в области радиобиологии и космической биомедицины важны для длительных пилотируемых космических полетов. Эти исследования проводятся с самого начала космических полетов. Совместно с Лабораторией радиационной биологии ОИЯИ проводятся облучения биологических объектов и их компонентов пучками различных частиц (табл. 2) [69, 70].

Таблица 2. Типы ядер, их энергии и линейные передачи энергии (L_∞), которые использовались в экспериментах в области радиобиологии и космической биомедицины в период 1998–2005 гг.

Ядро	p	He	C	C	Mg	Ar	Fe
Энергия, A ГэВ	1	0,5	1	0,48	0,5	1,0	1,25
L_∞ , кэВ	0,233	1,157	8,40	10,65	39,62	75,5	151,4

Изучалось влияние малых доз радиации с различной линейной передачей энергии на мутагенные эффекты лимфоцитов человеческой крови с использованием пучков протонов, ядер ^{12}C и ^{24}Mg нуклotronа. В будущем является перспективным использование в радиобиологических исследованиях более тяжелых ионов.

Метод трансмутации радиоактивных отходов с помощью пучков заряженных частиц исследуется в ЛВЭ в течение длительного периода. Использование пучков заряженных частиц для управления подкритическими ядерными реакторами также представляется перспективным с точки зрения безопасности ядерной энергетики и повышения эффективности использования ядерного топлива.

Работы по этой программе проводятся на установке ГАММА-2, схема которой приведена на рис. 50. Установка состоит из тяжелой мишени, окруженной парафиновым замедлителем вторичных нейтронов. Детекторы вторичных

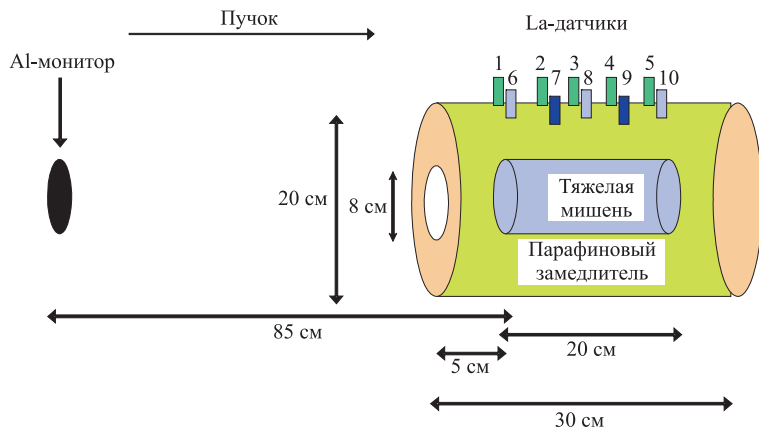


Рис. 50. Схема установки ГАММА-2

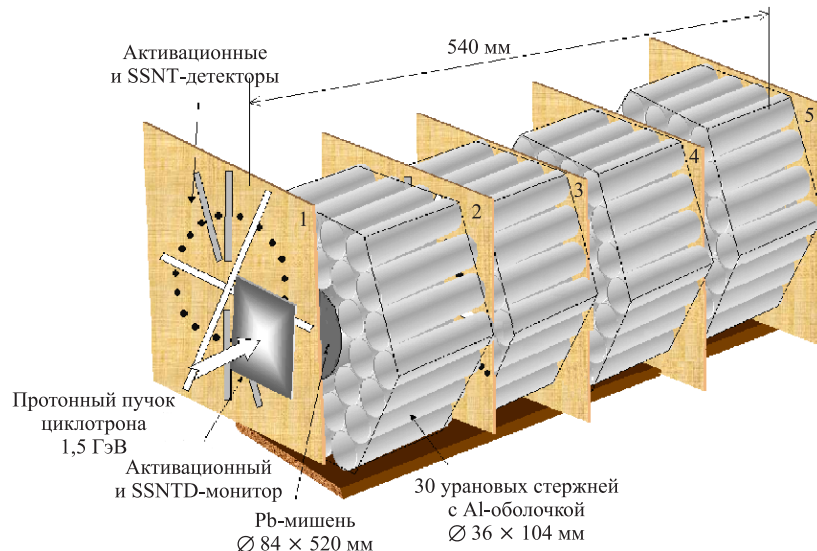


Рис. 51. Схема установки «Энергия + трансмутация»

нейтронов могут размещаться в различных местах установки. Образцы, подвергаемые трансмутации потоком вторичных нейтронов, располагаются на внешней поверхности замедлителя.

Исследования на установке ГАММА-2 сосредоточены, в основном, на изучении выхода нейтронов в зависимости от энергии пучка, типа налетающих частиц и материала мишени [71, 72].

Другой эксперимент этого же типа реализуется на установке «Энергия + трансмутация»; схема показана на рис. 51.

Сборка из естественного урана окружает мишень из тяжелого материала. Трековые активационные детекторы и трансмутируемые радиоактивные изотопы устанавливаются в щелях

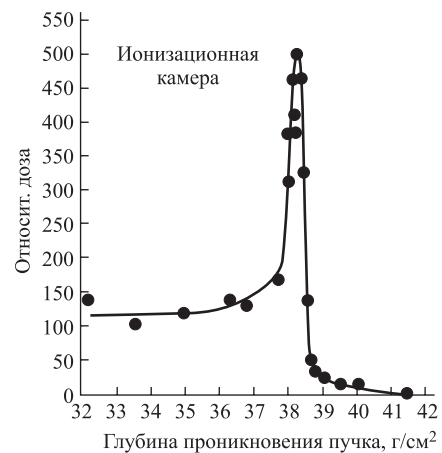


Рис. 52. Зависимость относительной дозы, поглощенной в оргстекле, от глубины проникновения пучка углерода с энергией 500 А МэВ

между урановыми элементами. Урановая сборка оборудована термометрическими датчиками.

Первые эксперименты с прототипом этой установки уже выполнены, и получены первые калориметрические результаты [73–75].

В настоящее время в ЛВЭ подготовлен новый проект, посвященный использованию углеродного пучка нуклотрона для терапии раковых опухолей. Первая очередь этого проекта предполагает создание специальной зоны для проведения исследований с соответствующим оборудованием и получение необходимых параметров пучка углерода. Проведены первые измерения с углеродным пучком с энергией 500 АМэВ [76]. На рис. 52 приведена кривая Брэгга, полученная с помощью пучка ^{12}C нуклотрона.

5. ПРОГРАММА ДАЛЬНЕЙШИХ ИССЛЕДОВАНИЙ НА НУКЛОТРОНЕ

Программа теоретических и экспериментальных исследований в ОИЯИ по релятивистской ядерной физике нацелена на постановку и проведение экспериментов, существенно влияющих на дальнейшее развитие теории сильных взаимодействий и создание современной теории атомного ядра [77]. Ведутся исследования взаимодействий релятивистских ядер в энергетической области от нескольких сотен МэВ до нескольких ГэВ в Дубне и до нескольких ТэВ на внешних ускорителях. Основная цель исследований — поиск проявлений кварк-глюонных степеней свободы в ядрах, асимптотических законов для ядерной материи, а также изучение спиновой структуры легчайших ядер. Программа, в частности, предусматривает:

- получение новой информации о свойствах процессов множественного рождения частиц в столкновениях различных ядер;
- изучение свойств сильновзаимодействующей материи в экстремальных условиях (высокие температуры и плотности барионного заряда) в переходной области от адронной материи к кварк-глюонной плазме.

Поиск и исследование свойств сильновозбужденной ядерной материи позволит осуществить проверку КХД-теории и дать возможные ответы на фундаментальные вопросы о том, что такое конфайнмент, каковы механизмы адронизации и нарушения киральной симметрии.

Исследования проводятся с использованием собственной ускорительной базы ОИЯИ, а также в других ускорительных центрах, таких как CERN, BNL и GSI.

На ускорительном комплексе ЛВЭ действуют или подготовлены к научным исследованиям ряд физических установок (СФЕРА, ГИБС, ФАЗА, ДЕЛЬТА-СИГМА, ДЕЛЬТА-2, СМС, МАРУСЯ, ЛНС, СТРЕЛА, НИС,

ФОТОН-2 и т.д.). Планируется дальнейшее развитие существующих экспериментальных установок и создание новых. Большой вклад вносится в проведение исследований в других научных центрах на экспериментальных установках: NA49, STAR, CMS, ALICE, HADES, CBM, PANDA и т. д.

На нуклоне ускорен и выведен поляризованный дейtronный пучок с источником ПОЛЯРИС и в ближайшем будущем планируется создание более совершенного источника поляризованных частиц с большими интенсивностями.

Эксперименты по релятивистской ядерной физике на внутренних и выведенных пучках нуклтрана планируется проводить в основном на уже существующих установках, но оборудованных новой электроникой и детекторами.

5.1. Поляризационные эффекты при релятивистских энергиях. Изучение поляризационных эффектов при фрагментации легких ядер будет выполнено по программе проекта ПИКАСО на установке СФЕРА. Главной целью этого проекта является изучение спиновой структуры дейтрана на малых межнуклонных расстояниях. Исследуются спиновые эффекты, скоррелированные с мезон-обменными и кварк-обменными механизмами. Эта программа ориентируется на использование дейтрановых пучков с энергией до 6 A ГэВ. Исследования были начаты на поляризованных пучках синхрофазотрана и будут продолжены на нуклоне после получения выведенного поляризованного пучка дейтранов достаточной интенсивности.

Проект ДЕЛЬТА-2 предназначен для работы на поляризованной протонной мишени ЛВЭ с использованием выведенных пучков нуклтрана, а также для проведения экспериментов на внутренней мишени нуклтрана (совместно с ФИАН и ИЯИ РАН). Установка представляет собой двухплечевой безмагнитный спектрометр для регистрации и измерения энергии нейтральных (гамма-квантов и мезонов) и заряженных (мезонов, протонов, дейтранов) частиц. Физическая программа предполагает детальное исследование образования π^0 - и η -мезонов (в том числе с одновременным образованием дейтрана в конечном состоянии) в нейтрон-протонных соударениях поляризованных нуклонов пучка и мишени при энергиях 1,2–2,0 ГэВ с целью проверки теоретических предположений о механизме мезонообразования, а также гипотезы о наличии внутри нуклона поляризованной по спину $S\bar{S}$ -компоненты странных夸克ов.

Эксперимент СТРЕЛА предполагает изучение спиново-зависимой части нуклонной амплитуды рассеяния в $pr \rightarrow pn$ зарядово-обменном процессе на выведенном пучке дейтранов нуклтрана. Планируется измерить сечение рождения двух протонов при малом переданном импульсе в dp -взаимодействиях в области импульсов дейтранов от 3,0 до 4,0 ГэВ/с.

Главная цель проекта ДЕЛЬТА-СИГМА состоит в изучении нуклон-нуклонных взаимодействий с использованием вторичного пучка поляризованных нейтронов высокой энергии, который имеется в настоящее время только

на ускорительном комплексе ЛВЭ. Предлагается провести детальные измерения энергетической зависимости величин $\Delta\sigma_L(np)$ и $\Delta\sigma_T(np)$, которые представляют собой разности полных нейтрон-протонных сечений для антипараллельной и параллельной ориентации спинов нейтронов пучка и протонов мишени, поляризованных в продольном (L) и поперечном (T) направлениях.

Проект НИС предложен совместно ЛВЭ и Лабораторией физики частиц ОИЯИ. Проект нацелен на поиск эффектов поляризованной странности нуклона, включая нарушения правила Окубо–Цвейга–Изуки (ОЦИ), при рождении векторных мезонов в pp - и pr -взаимодействиях вблизи порога. В случае подтверждения этой гипотезы свое естественное объяснение находят как проблема «спинового кризиса», так и кажущееся нарушение правила ОЦИ. Необходимо выполнить измерения отношений сечений рождения φ - и ω -мезонов вблизи порога их образования в нуклонных взаимодействиях, т. е. при лабораторных импульсах нуклонов выше 2,7 ГэВ/с. Использование дейtronного пучка даст возможность сравнить полные и дифференциальные сечения рождения φ - и ω -мезонов в pp - и pr -взаимодействиях при одинаковых кинематических условиях. В обозримом будущем такие измерения возможны только в Дубне на нуклотроне, поскольку максимальная энергия единственного другого протонного ускорителя в этой области энергий COSY в Германии соответствует как раз порогу рождения φ -мезона. В настоящее время проект НИС дополнен программой поиска пентакварков.

Экспериментальная программа проекта ЛНС предполагает исследование структуры дейтрана и ^3He на малых расстояниях между нуклонами. Программа включает изучение упругого dp -рассеяния и реакции раз渲а дейтрана в dp -взаимодействии с использованием как неполяризованного, так и поляризованного дейтранного пучка и внутренней мишени нуклотрона. Планируется измерение тензорной анализирующей способности реакций $d + d \rightarrow ^3\text{He} + n$ и $d + d \rightarrow ^3\text{H} + p$ с поляризованным дейтранным пучком. Экспериментальная программа проекта ЛНС включает три различных эксперимента: измерение сечения векторной (A_y), тензорных (A_{yy}) и (A_{xx}) анализирующих способностей в упругом dp -рассеянии в области кинетических энергий дейтрана от 300 до 500 МэВ; измерение сечения векторной и тензорной анализирующих способностей в реакции раз渲а дейтрана в dp -взаимодействии в области энергий 300–500 МэВ в различных конфигурациях (компланарная геометрия, пространственная звезда и т. д.); измерение тензорных анализирующих способностей в реакциях $d + d \rightarrow ^3\text{He} + n$ и $d + d \rightarrow ^3\text{H} + p$ до 270 МэВ.

Основной целью совместного ЛВЭ–RIKEN $p\text{He}3$ -эксперимента является изучение спиновой структуры ^3He (^3H) на расстояниях, недостижимых в настоящий момент с использованием электромагнитных пробников, посредством измерения угловых зависимостей тензорных анализирующих способно-

стей A_{yy} , A_{xx} , A_{xz} в реакциях $d + d \rightarrow {}^3\text{He} + n$ и $d + d \rightarrow {}^3\text{H} + p$. Эти поляризационные наблюдаемые чувствительны к спиновому распределению нейтрона (протона) в ${}^3\text{He}$ (${}^3\text{H}$) на малых расстояниях в рамках приближения одонуклонного обмена. С другой стороны, так как ${}^3\text{He}$ и ${}^3\text{H}$ являются зеркальными ядрами по отношению к количеству протонов и нейтронов, то различие в их наблюдаемых величинах может быть интерпретировано в терминах нарушения зарядовой симметрии. Измерение тензорных анализирующих способностей, которые в первом порядке нечувствительны к кулоновским коррекциям, в реакциях $d + d \rightarrow {}^3\text{He} + n$ и $d + d \rightarrow {}^3\text{H} + p$, особенно при больших внутренних импульсах, могло бы обеспечить дополнительную информацию о природе нарушения зарядовой симметрии.

Сотрудничество ЛВЭ–RIKEN провело измерение тензорных A_{yy} , A_{xx} , A_{xz} и векторной A_y анализирующих способностей на пучке поляризованных дейtronов циклотрона RARF (RIKEN) на установке SMART осенью 2000 г. Измерения были выполнены при энергиях 270 и 200 МэВ во всем угловом диапазоне для реакции $d + d \rightarrow {}^3\text{H} + p$. Тот же самый набор анализирующих способностей был получен для канала $d + d \rightarrow {}^3\text{He} + n$ при 270 МэВ между 0° и 120° в системе центра масс. Высокая точность экспериментальных данных позволяет дискриминировать различные модели трехнуклонного связанного состояния до внутреннего импульса нуклона 600 МэВ/с. Эти исследования планируется продолжить на пучках поляризованных дейtronов ускорительного комплекса ЛВЭ в области более высоких энергий.

5.2. Проявление структуры ядер и их возбужденных состояний при релятивистских энергиях. На установке СФЕРА планируется изучение множественного рождения кумулятивных частиц (особое внимание будет уделено изучению рождения векторных мезонов в кумулятивной области), исследование физики резонансов и поиск экзотических кварковых состояний, изучение динамических корреляций вторичных частиц и ядерных возбуждений в зарядово-обменных реакциях, а также исследование гиперядер (измерение времени жизни гиперядер ${}^3\text{H}_\Lambda$, ${}^4\text{H}_\Lambda$, ${}^6\text{He}_\Lambda$, энергии связи гиперядер ${}^3\text{H}_\Lambda$ и ${}^6\text{He}_\Lambda$) и изучение их кулоновской диссоциации.

На установке ФОТОН-2 планируется продолжение цикла экспериментов по рождению нейтральных π -, η -мезонов и γ -квантов в ядро-ядерных взаимодействиях при импульсах от 2 до 5 ГэВ/с на нуклон, а также поиск сигналов от смешанной фазы, формируемой в центральных столкновениях тяжелых ионов, в частности, рождения скоррелированных пар γ -квантов, образуемых вследствие распада σ -мезона в ядерной среде.

Научной целью проекта ФАЗА (совместный эксперимент Лаборатории ядерных проблем ОИЯИ и ЛВЭ) является изучение ядерного уравнения состояния при пониженной плотности и температурах ниже критической T_c для фазового перехода «жидкость–газ». Исследование «тепловой» мультифрагментации (на пучках легких релятивистских ионов) адекватно этой за-

даче. Это новый, многотельный тип распада очень горячих ядер ($E^* = 500$ – 700 МэВ), для которого характерна множественная эмиссия фрагментов промежуточной массы ($2 < Z < 20$). Коллаборацией ФАЗА впервые было показано, что этот тип распада происходит после расширения возбужденного спектатора мишени за счет теплового давления. Найдено, что развал происходит при плотности $\rho_b \approx 0,3\rho_0$ и температуре 5–7 МэВ. Найдено также, что он происходит быстро, за время 50–70 фм/с. Эти наблюдения приводят к следующему сценарию: горячее ядро, расширяясь, попадает в область фазовой нестабильности (спинодальную область). Благодаря флуктуациям плотности гомогенная система быстро трансформируется в смесь фаз, состоящую из заряженных капелек, окруженных нуклонным газом. Это «ядерный туман», который взрывным образом разлетается за счет кулоновского отталкивания и детектируется как мультифрагментация. Происходит специфический ядерный фазовый переход первого рода жидкость–газ. Другой возможный ядерный фазовый переход жидкость–газ ожидается при более высокой температуре. Критическая температура для него T_c была определена коллаборацией ФАЗА путем анализа зарядового распределения фрагментов промежуточной массы, возникающих в соударениях $p(8,1 \text{ МэВ}) + \text{Au}$: $T_c = (20 \pm 3) \text{ МэВ}$. Эти исследования будут продолжены. Хорошо проработанная научная программа включает изучение эволюции механизма мультифрагментации с ростом массы бомбардирующей частицы ($p, {}^4\text{He}, {}^{12}\text{C} \dots$), исследование динамики расширения горячего ядра перед развалом, измерение временной шкалы этой стадии реакции и т. д. Будет использоваться модернизованный 4π -установка ФАЗА на пучке нуклotronа.

В рамках проекта БЕККЕРЕЛЬ планируется проведение облучения ядерных фотоэмульсий на различных пучках релятивистских ядер. Программа исследований нацелена на детальное изучение процессов релятивистской фрагментации легких радиоактивных и стабильных ядер. Ожидаемые результаты позволят ответить на некоторые актуальные вопросы кластерной структуры легких ядер. Благодаря наилучшему пространственному разрешению ядерные эмульсии позволяют получить уникальные и доказательные результаты. Наиболее важные облучения будут выполнены на вторичных пучках радиоактивных ядер He, Be, B, C и N, сформированных на основе пучков стабильных ядер нуклotronа. В настоящее время получены предварительные результаты по зарядовой топологии для релятивистской фрагментации при малых передачах энергии-импульса.

5.3. Изучение процессов множественного рождения в соударениях релятивистских ядер от легчайших до тяжелых при энергиях от сотен МэВ до ТэВ. Проект МАРУСЯ имеет целью исследовать свойства переходного режима (от нуклонных к кварк-глюонным степеням свободы) в релятивистских ядерных столкновениях. В проекте также предполагается проводить исследования редких подпороговых и кумулятивных процессов (в том чи-

сле для поляризованных сталкивающихся объектов) и разделять события по степени центральности на основе измерения множественности вторичных частиц. Планируется изучение выхода антипротонов и отрицательных каонов, интерес к которым вызван их образованием из «морских»夸克ов. В переходной области энергий такие данные отсутствуют. Кроме того, планируется продолжить измерение сечений рождения ядерных фрагментов отдейтерия до кремния на внутренних мишениях нуклонона, экспериментальное изучение низкоэнергетической части спектра рождения ядерных фрагментов в энергетическом диапазоне 1–150 МэВ, а также проверку и развитие теоретических моделей описания релятивистских ядерных столкновений на основе полученных экспериментальных данных.

Проект СМС (совместный проект ЛВЭ и НИЯФ МГУ) посвящен исследованию лидирующих частиц в протон-ядерных взаимодействиях. В планы исследований входит выяснение механизмов сильного взаимодействия частиц. Экспериментальная установка представляет собой одноплечевой магнитный спектрометр с изменяемой геометрией спектрометрической части и используется для решения двух основных задач:

- 1) исследование пространственно-временной структуры адронного взаимодействия;
- 2) измерение анализирующей способности квазиупругого рассеяния поляризованных протонов на ядрах.

В рамках программы исследования взаимодействий поляризованных протонов с ядрами предлагается измерение односпиновой асимметрии рассеяния поляризованных протонов на внутриядерных нуклонах для сравнения с аналогичным рассеянием на свободных нуклонах в области энергий 1–4 ГэВ.

5.4. Поиск смешанной фазы. В 2005 г. в ОИЯИ началось обсуждение возможности поиска смешанной фазы сильноизаимодействующей ядерной материи в релятивистских столкновениях тяжелых ионов на нуклононе. Идея наблюдения на нуклононе смешанной фазы, которая может состоять из цветных и бесцветных объектов, была предложена А. Н. Сисакяном с коллегами [78,79]. Важным свойством смешанной фазы является частичное восстановление в ней киральной симметрии.

В июле 2005 г. в ОИЯИ состоялось международное совещание по проблеме поиска смешанной фазы сильноизаимодействующей материи на нуклононе. Возможность образования смешанной фазы при максимально достижимой энергии нуклонона следует из расчетов, выполненных В. Д. Тонеевым с коллегами [80]. Результаты этих расчетов представлены на рис. 53. Из рисунка можно видеть, что при максимально возможной на нуклононе энергии ядер золота 5 A ГэВ динамическая траектория ядерных соударений проходит через область смешанной фазы.

Ожидается, что в области фазового перехода частично восстанавливается киральная симметрия. В частности, как было показано в [81–83],

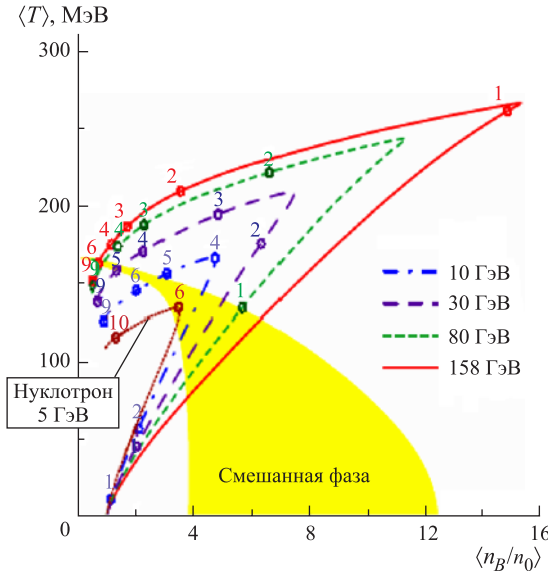


Рис. 53. Динамические траектории для центральных Au + Au-столкновений в плоскости $T - n_B/n_0$ для различных энергий налетающих ядер в интервале от 5 до 158 A ГэВ, вычисленные в рамках релятивистской трехжидкостной гидродинамической модели [80]. Числа вблизи траекторий указывают на временной момент эволюции столкновения

двуухфотонный распад σ -мезона, являющегося возможным промежуточным состоянием при взаимодействии ядер, может быть сигналом образования смешанной фазы. Как показано на рис. 54, при температуре вблизи фазового перехода, когда $m_\sigma \cong 2m_\pi$, появляется аномально узкий пик в спектре инвариантных масс фотонных пар, что может служить сигналом фазового перехода.

Совсем недавно в работах [79] была предложена программа физических исследований на нуклонроне для соударений тяжелых ионов с атомными номерами $A \sim 200$ и энергиями до 5 ГэВ/нуклон, которая может рассматриваться как пилотная программа для последующих детальных исследований на SIS-100/300 (FAIR GSI [87]) и как составная часть международной научной программы (см., например, [88–91] и приведенные там ссылки) по изучению энергетической зависимости свойств материи, образующейся в столкновениях релятивистских тяжелых ионов.

В настоящее время ведется подготовка совместного проекта экспериментов по поиску смешанной фазы на нуклонроне в ЛВЭ и Лаборатории теоретической физики ОИЯИ.

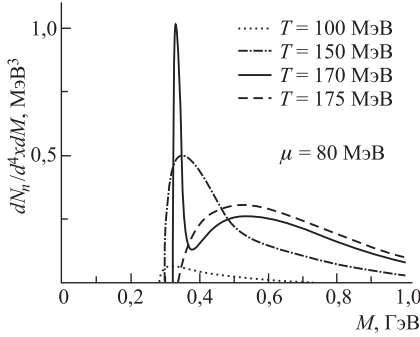


Рис. 54. Инвариантный спектр масс двух фотонов при барионном химическом потенциале $\mu = 80$ МэВ и различных температурах [83]

5.5. Прикладные исследования с использованием пучков релятивистских ядер нуклotronа. Синхрофазотрон ОИЯИ в течение длительного времени активно использовался для проведения прикладных исследований. Результаты этих исследований весьма плодотворны и поэтому их продолжение уже нашло место на нуклotronе. Более того, пучки нуклотрона предоставляют новые возможности для проведения прикладных исследований и их круг будет расширен.

Исследования в прикладной области, проводимые на ускорительном комплексе ЛВЭ ОИЯИ, включают большой объем работ, направленных на обеспечение наземного тестирования элементов космической аппаратуры, решение проблем радиобиологии и космической биомедицины, трансмутации радиоактивных отходов и проблемы электроядерного метода генерации энергии, а также использование пучков ядер для медицины.

Эти направления будут развиваться в дальнейшем с использованием большого ассортимента ускоренных ядер.

В конечном итоге, программа исследований на ускорительном комплексе ЛВЭ ориентирована на получение новой экспериментальной информации в области релятивистской ядерной физики, на предоставление физикам стран-участниц ОИЯИ необходимых условий проведения исследований.

ЗАКЛЮЧЕНИЕ

Мы постарались дать краткий обзор результатов исследований последних лет на ускорительном комплексе Лаборатории высоких энергий имени В. И. Векслера и А. М. Балдина ОИЯИ. В обзоре приведены результаты, полученные в области релятивистской ядерной физики на собственной базе

лаборатории, и не затронуты результаты исследований, проводимых сотрудниками лаборатории в других научных центрах. Эти исследования могут быть темой отдельного обзора.

Следует отметить, что ускорительный центр ЛВЭ ОИЯИ на базе сверхпроводящего ускорителя — нуклotronа предоставляет уникальные возможности для исследований с релятивистскими ядрами и получения физических результатов на самом современном уровне. В настоящее время программа развития нуклотрона сосредоточена на решении в кратчайшие сроки задачи ускорения тяжелых ионов с атомными номерами ~ 200 до предельно возможной проектной энергии 5 ГэВ/нуклон, что позволит в самом ближайшем будущем экспериментально прикоснуться ко многим важным фундаментальным проблемам существования сильновзаимодействующей КХД-материи в экстремальных условиях. Совсем недавно открылась принципиальная возможность увеличения проектной энергии до 10 ГэВ/нуклон, техническая реализация которой будет следующей важной задачей развития нуклотрона.

Мы хотим поблагодарить всех руководителей экспериментов, предоставивших возможность использовать результаты своих исследований для подготовки настоящего обзора.

Работа выполнена при поддержке гранта РФФИ 05-02-17695 и специальной программы Министерства образования и науки Российской Федерации, грант РНП.2.1.1.5409.

ЛИТЕРАТУРА

1. Балдин А. М. // Краткие сообщения по физике ФИАН. М., 1971. С. 35.
2. Балдин А. М. и др. // ЯФ. 1973. Т. 18, вып. 1. С. 79.
3. Baldin A. M. // Proc. of Conf. on Extreme States in Nucl. Syst. Dresden, 1980.
4. Ставинский В. С. // ЭЧАЯ. 1979. Т. 10, вып. 5. С. 949–995.
5. Ставинский В. С. Сообщение ОИЯИ Р2-9528. Дубна, 1976.
6. Ставинский В. С. // Тр. IX Междунар. сем. по проблемам физики высоких энергий. 14–19 июня 1988 г. Дубна. ОИЯИ Д1,2-88-652. Дубна, 1988. С. 190–211.
7. Baldin A. M. et al. Preprint JINR E2-83-415. Dubna, 1983.
8. Aubert J. J. et al. // Phys. Lett. B. 1983. V. 123. P. 275.
9. Brener A. et al. // Phys. Rev. D. 1982. V. 26. P. 1497.
10. Baldin A. M. et al. JINR Commun. E1-82-472. Dubna, 1982.
11. Bojarinov S. V. et.al. // Sov. Nucl. Phys. 1987. V. 45. P. 1472.
12. Балдин А. М. // Доклады АН СССР. 1975. № 5. С. 1064.
13. Baldin A. M., Didenko L. A. // Fortschr. Phys. 1990. V. 38, No. 4. P. 261–332.
14. Baldin A. A. // JINR Rapid Commun. 1996. No. 4[78]-96. P. 61-68.

15. Baldin A. M., Baldin A. A. // Phys. Particles and Nuclei. 1998. V. 29, No. 3. P. 232.
16. Baldin A. M., Malakhov A. I. // JINR Rapid Commun. 1998. No. 1[87]-98. P. 5–12.
17. Baldin A. M., Malakhov A. I., Sissakian A. N. // Phys. Particles and Nuclei. 2001. V. 29, No. 32, Suppl. 1. P. 4-30.
18. Zborovsky I. et al. // Phys. Rev. D. 1996. V. 54. P. 5548.
19. Tokarev M. V. et al. // Int. J. Mod. Phys. A. 2001. V. 16. P. 1.
20. Tokarev M. V., Dedovich T. G. // Int. J. Mod. Phys. A. 2000. V 15. P. 3495.
21. Tokarev M. // Acta Physica Slovaca. 2004. V. 54. P. 321.
22. Agapov N. N., Kovalenko A. D., Malakhov A. I. // Atomnaja energija. 2002. V. 93, issue 6. P. 479–485.
23. Malakhov A. I. Report to the 95th Session of the JINR Scientific Council. Jan. 15–16, 2004, 2003–237. Dubna, 2003.
24. Donets E. D. et al. // Rev. Sci. Instr. 2002. V. 71. P. 679.
25. Malakhov A. I. Report to the 97th Session of the JINR Scientific Council, Jan. 20–21, 2005, 2004–194, Dubna, 2004.
26. Malakhov A. I. Report to the 99th Session of the JINR Scientific Council, Jan. 19–20, 2006, 2003–237, Dubna, 2005.
27. Афанасьев С. В. и др. // Письма в ЭЧАЯ. 2004. № 1(118). С. 68.
28. Malakhov A. I. et al. // Nucl. Instr. Meth. 2000. V. 440, issue 2,1. P. 320-329.
29. Байдин А. М. и др. // ЯФ. 1973. Т. 18, вып. 1. С. 79.
30. Schroeder L. S. et al. // Phys. Rev. Lett. 1979. V. 43, No. 24. P. 1787.
31. Boyarinov S. et al. // Proc. of the XII Int. Seminar on High Energy Physics Problems. Dubna, 1997. P. 352.
32. Беляев И. М. и др. // ЯФ. 1993. Т. 56. С. 135.
33. Malakhov A. I. // Phys. Part. Nucl. 2004. V. 1, No. 6. P. 314-324.
34. Zarubin P. I. // Phys. Part. Nucl. 1995. V. 26, No. 3. P. 221.
35. Adiasevich B. P. et al. // Z. Phys. C. 1996. V. 71. P. 65.
36. Sharov V. I. et al. // JINR Rapid Commun. 1996. № 3[77]-96. P. 13.
37. Lehar F. JINR Preprint E1-2001-238. Dubna, 2001.
38. Гаспарян А. П. и др. // ПТЭ. 1977. Т. 2. С. 37.
39. Troyan Yu. A. et. al. Preprint JINR E1-2002-214. Dubna, 2002.
40. Diakonov D., Petrov V., Polyakov M. // Z. Phys. A. 1997.V.359. P.305.
41. Троян Ю. А. и др. Препринт ОИЯИ Д1-2004-39. Дубна, 2004;
Troyan Yu. A. et. al. //Part. Nucl., Lett. 2005. V. 2, № 1. P. 20.
42. Anisimov Yu. S. et al. // Phys. of Atom. Nucl. 1997.V. 60, № 6. P. 957.
43. Abraamyan Kh. U. et al. // Phys. Lett. B. 1994. V. 323. P. 1.
44. Astvatsaturov R. G. et al. // Nucl. Instrum. Meth. 1979. V. 163. P. 343.
45. Абраамян Х. У. и др. // ЯФ. 1997. Т. 60. С. 2014; ЯФ. 2005. Т. 68. С. 1020.

46. *Anikina M. K. et al.* // Phys. Lett. B. 1997. V. 397. P. 30.
47. *Adamovich M. I. et al.* // Phys. Atom. Nuclei. 2004. V. 67, No. 2. P. 273.
48. *Adamovich M. I. et al.* // Part. Nucl., Lett. 2002. No. 1[110]. P. 29.
49. *Avdeev S. et al.* // Nucl. Phys. A. 2002. V. 709. P. 392.
50. *Карнаухов В. А. и др.* // ЯФ. 2003. Т. 66. С. 1282.
51. *Karnaughov V. A. et al.* // Nucl. Phys. Rev. A. 2004. V. 734. P. 520.
52. *Karnaughov V. A. et al.* // Phys. Rev. C. 2004. V. 70. P. 041 601 (R).
53. *Baldin A. M., Malakhov A. I.* // Nucl. Phys. A. 1994. V. 566. P. 611.
54. *Baldin A. M. et al.* // Nucl. Phys. A. 1995. V. 583. P. 637.
55. *Афанасьев С. В., Дряблов Д. К.* // Письма в ЭЧАЯ. 2005. Т. 2, № 2(125). С. 82.
56. *Анисимов Ю. С. и др.* // Краткие сообщения ОИЯИ. 1998, № 5[91]-98. Дубна, С. 25.
57. *Malakhov A. I.* // Proc. of the XVII Int. Baldin Seminar on High Energy Phys. Problems, Dubna, Sept. 27–Oct. 2, Eds. Sissakian A. N. et al. V. II, Dubna, 2005. P. 319-338.
58. *Карпачев Е. В. и др.* Препринт ИЯИ РАН – 1154/2005, М., 2005.
59. *Uesaka T. et al.* Preprint JINR E1-2005-64. Dubna, 2005.
60. *Ladygin V. P. et al.* nucl-ex/0510050, 17 Oct. 2005.
61. *Мигдал А. Б.* // ЖЭТФ. 1955. Т. 28. С. 3.
62. *Pomeranchuk I.* // DAN USSR. 1951. 2, V. LXXVIII. P. 249.
63. *Komarov V. et al.* nucl-ex/0210017. 2002.
64. *Uzikov Yu. N. et al.* // J. Phys. G: Nucl. Part. Phys. 2002. V. 28. P. B13.
65. *Sharov V. I. et al.* // XI-th Workshop on High Energy Spin Physics «SPIN-2005», Dubna, Sept. 27–Oct. 1. 2005.
66. *Андреева Н. П. и др.* // ЯФ. 2005. Т. 68, № 3. С. 484.
67. *Afanasiev S. V. et al.* // Nucl. Instr. Meth. B. 2005. V. 227. P. 61.
68. *Адипцев Ю. Н. и др.* // Письма в ЖЭТФ. 2005. Т. 81, вып. 6. С. 305.
69. *Bamblevski V. P., Krylov A. R., Timoshenko G. N.* Preprint JINR E16-99-47. Dubna, 1999.
70. *Тимошенко Г. Н., Бамблевский В. П.* Препринт ОИЯИ Р16-2003-62. Дубна, 2003.
71. *Wan J.-S. et al.* // Nucl. Instr. Meth. A. 2001. V. 463. P. 634–652.
72. *Wan J.-S. et al.* // J. Radioanal. Nucl. Chem. 2001. V. 274, No. 1. P. 151–157.
73. *Krivopustov M. I. et al.* // Kerntechnik. 2003. V. 68. P. 48.
74. *Zamani M. et al.* // Radiation Measurements. 2005. 40. P. 410–414.
75. *Westmeier W. et al.* // Radiochem. Acta. 2005. 93. P. 65–73.
76. *Молоканов А. Г., Спурны Ф.* Препринт ОИЯИ Р16-2005-86. Дубна, 2005.
77. *Malakhov A. I.* // Nucl. Phys. A. 2004. V. 734. P. 82–90.

78. Зиновьев Г.М., Сисакян А.Н., Сорин А.С., Сулейманов М.К. // Избр. труды университета «Дубна», Сб. статей. Вып. 1. Дубна, 2004. С. 44–68.
79. Sissakian A.N., Sorin A.S., Suleymanov M.K., Toneev V.D., Zinovjev G.M. nucl-ex/0511018 (2005), nucl-ex/0601034 (2006).
80. Ivanov Y.B., Russkikh V.N., Toneev V.D. nucl-th/0503088.
81. Chiku S., Hatsuda T. // Phys. Rev. D. 1998. V. 58 P. 076001; [hep-ph/9809215].
82. Hatsuda T., Kunihiro T., Shimizu H. // Phys. Rev. Lett. 1999. V. 82. P. 2840.
83. Volkov M.K. et al. // Phys. Lett. B. 1998. V. 424. P. 235; [hep-ph/9706350].
84. Logunov A.A., Mestvirishvili M.A., Nguen Van Hieu. // Phys. Lett. B. 1967. V. 25. P. 611–614.
85. Bogoliubov N.N. Preprint JINR D-781. Dubna, 1961.
86. Matveev V.A., Muradyan R.M., Tavkhelidze A.N. // Lett. Nuovo Cim. 1973. V. 7. P. 719–723.
87. Gutbrod H.H. // Nucl. Phys. A. 2005. V. 752. P. 457–469.
88. Braun-Munzinger P., Redlich K., Stachel J. // Quark Gluon Plasma 3 / Eds. R. C. Hwa and X. N. Wang, World Scientific, Singapore. P.491; [nucl-th/0304013].
89. Nagle J.L., Hallman T. // AIP Conf. Proc. 698. 2004. P. 735–740; [nucl-ex/0308019].
90. Gorenstein M.I. hep-ph/0310269. 2003.
91. Gazdzicki M. nucl-ex/0512034. 2005.

Редактор *E. K. Аксенова*

Подписано в печать 25.10.2006.

Формат 60 × 90/16. Бумага офсетная. Печать офсетная.

Усл. печ. л. . Уч.-изд. л. . Тираж экз. Заказ № .

Издательский отдел Объединенного института ядерных исследований
141980, г. Дубна, Московская обл., ул. Жолио-Кюри, 6.

E-mail: publish@jinr.ru

www.jinr.ru/publish/